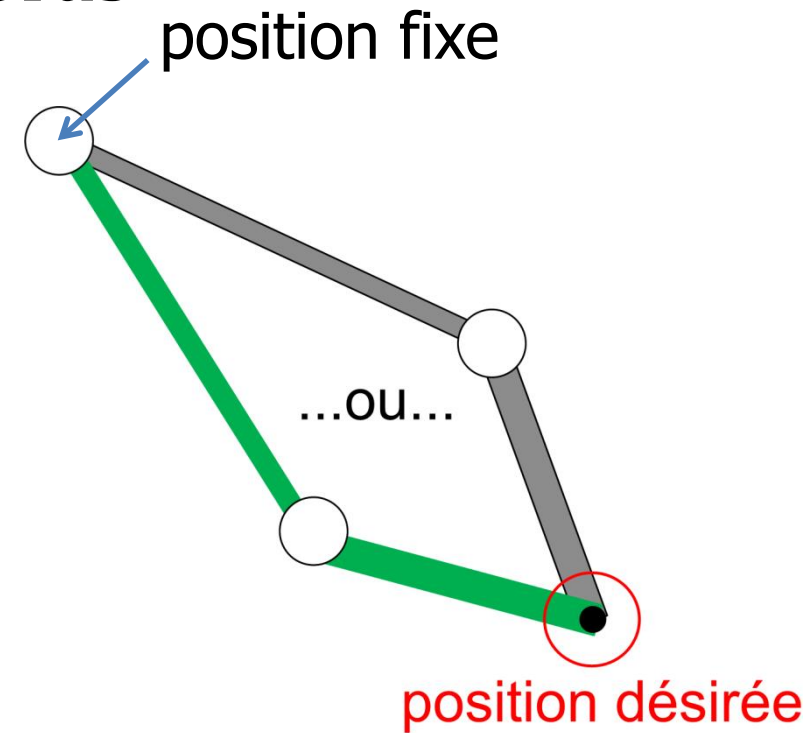
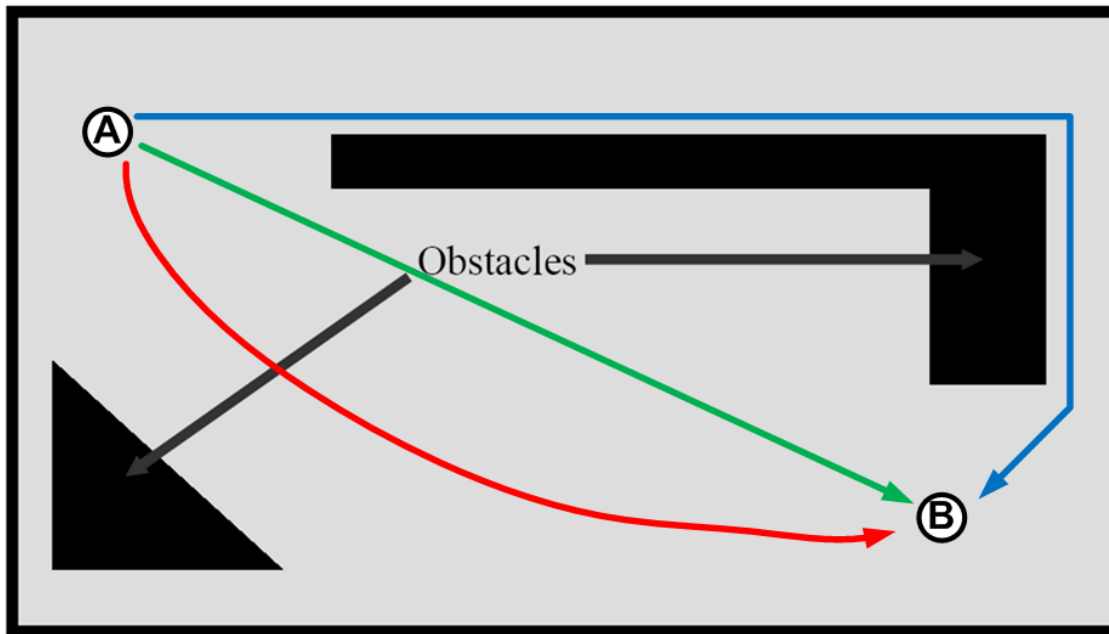


Planification

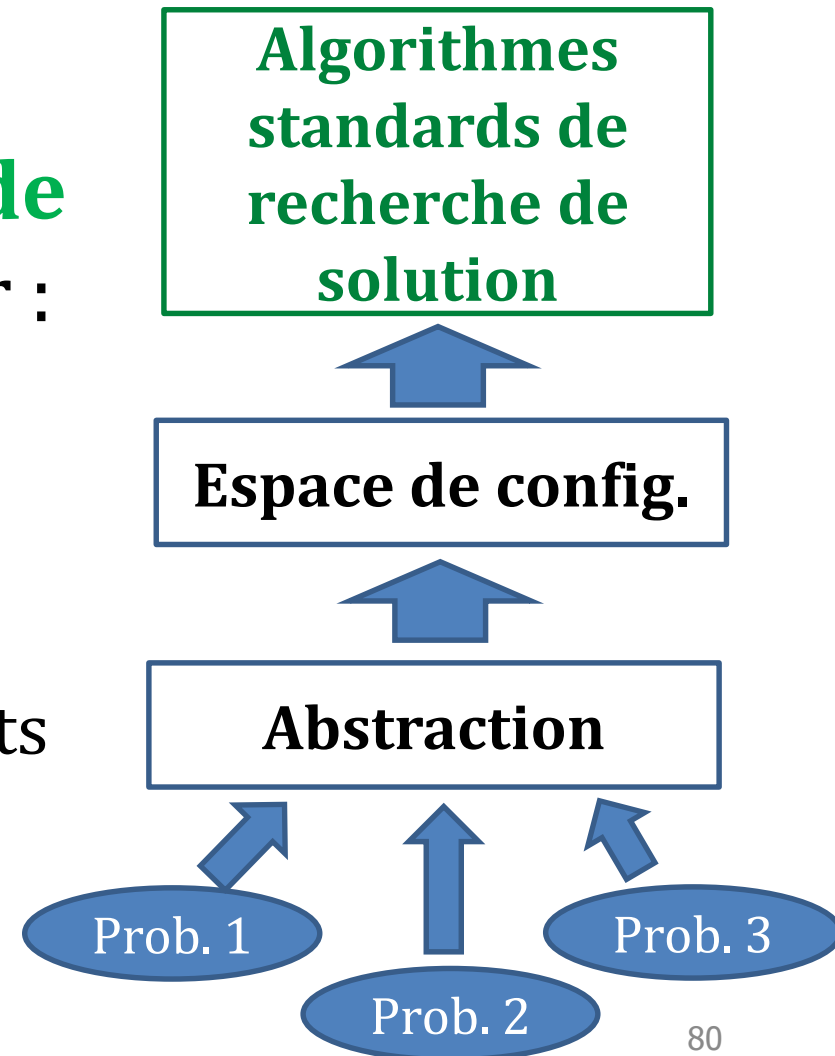
Planification : mal posé

- Déplacer un robot de A vers B
- Positionner l'extrémité d'un bras

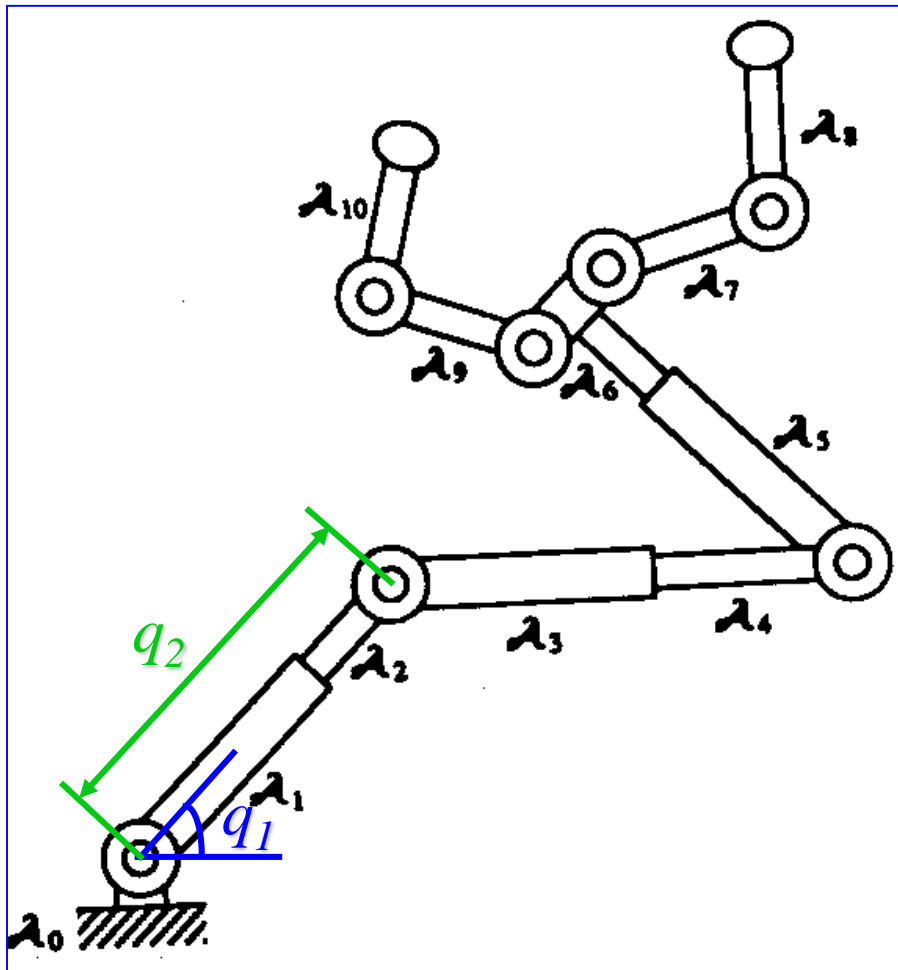


Espace de configuration

- Représentation abstraite d'un problème de planification
- Employer des **algorithmes de recherches** génériques pour :
 - robot 2D glisse en x, y
 - robot conduite différentielle
 - bras articulé
 - robot humanoïde avec 30 joints
 - etc.



Exemple configuration (bras articulé)

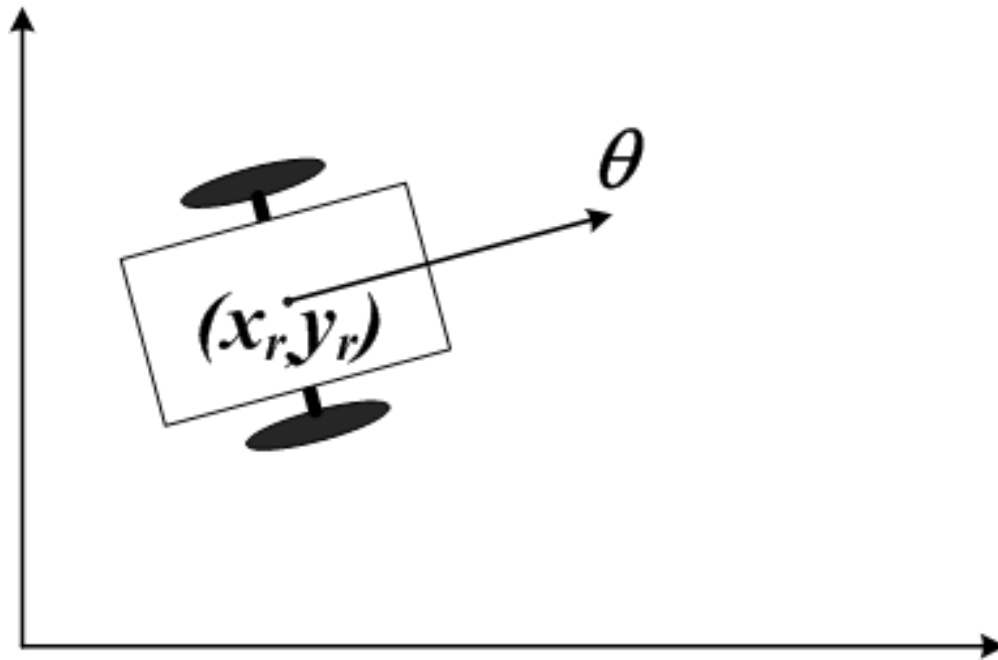


- La configuration d'un bras est l'ensemble des angles θ_i et étirements d_j .
- Pour un robot articulé complexe de 10 actionneurs :

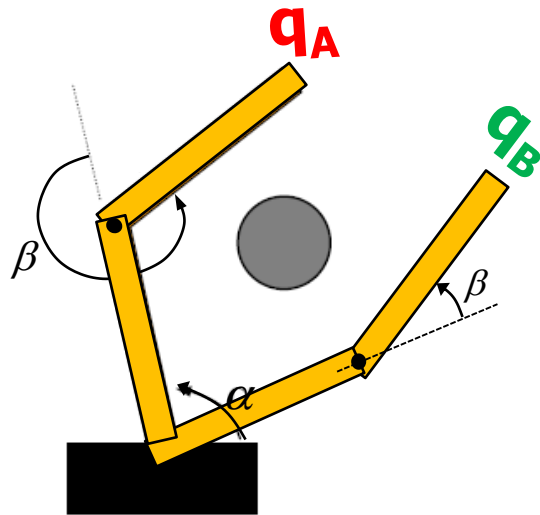
$$\vec{q} = (q_1, q_2, \dots, q_{10})$$

Exemple configuration (robot mobile)

- Espace de travail en 2D
- Configuration : $\vec{q} = (x_r, y_r, \theta)$

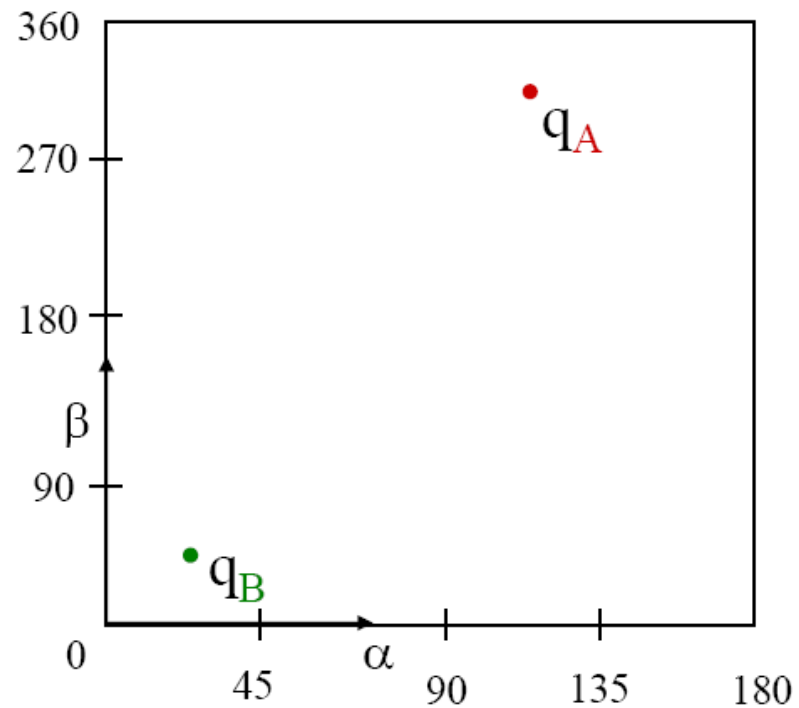


Obstacle dans l'espace de travail



Un obstacle dans l'espace de travail

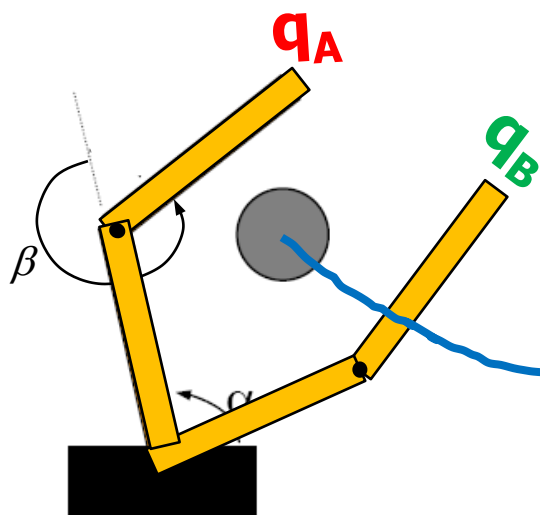
Où placer  ?



Espace de configuration

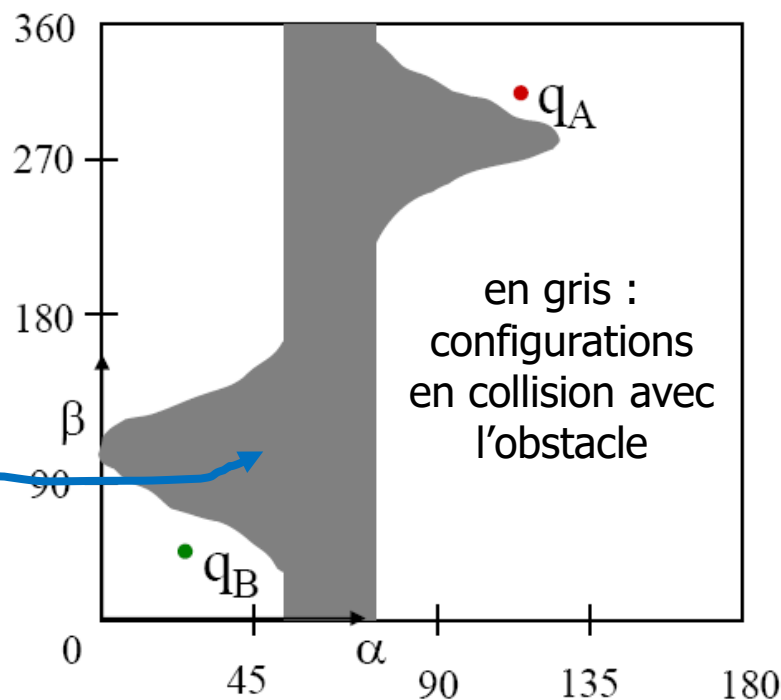
(en 2D, car 2 joints)

Obstacle dans l'espace des configurations



Un obstacle dans l'espace de travail

Comment aller de q_A vers q_B ?

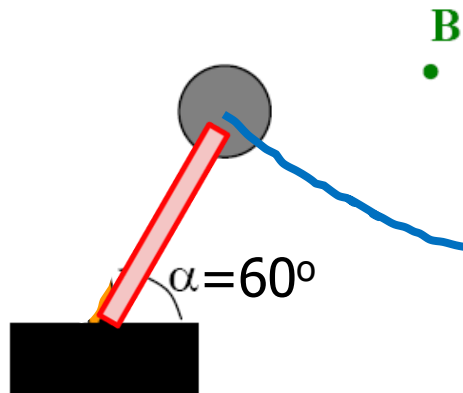


Espace de configuration

(en 2D, car 2 joints)

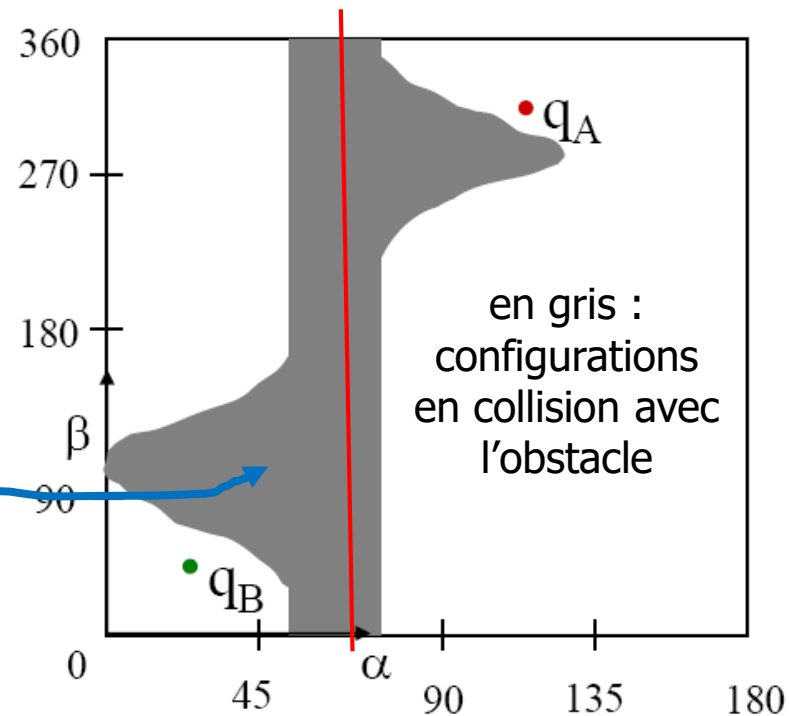
Obstacle dans l'espace des configurations

dès que $\alpha = 60^\circ$, on a collision, peu importe β



Un obstacle dans l'espace de travail

Comment aller de q_A vers q_B ?



Espace de configuration

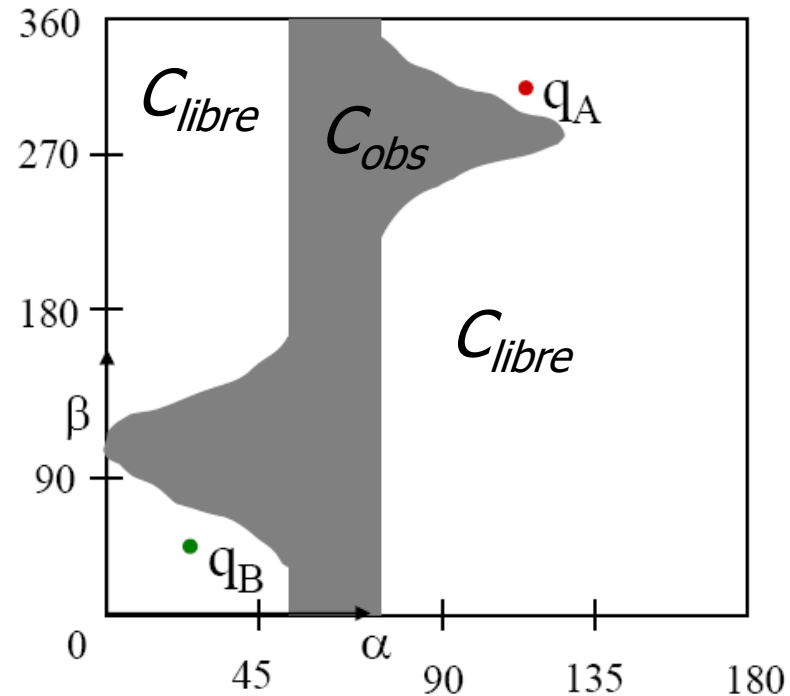
(en 2D, car 2 joints)

Espace des configurations : terminologie

L'espace des configurations C est composé :

- espace libre C_{libre}
- espace des obstacles C_{obs}

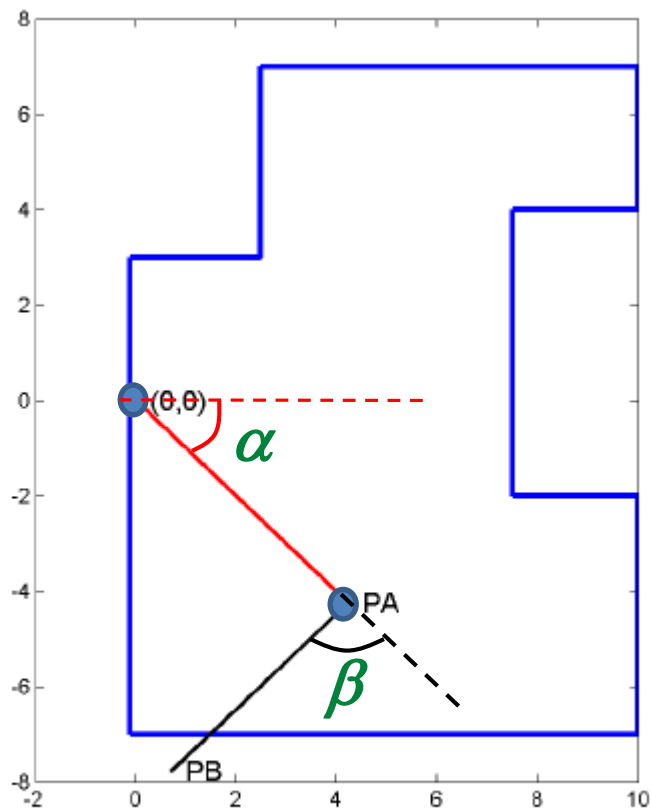
$$C = C_{libre} + C_{obs}$$



Espace de configuration
(en 2D, car 2 joints)

Obstacle dans l'espace des configurations

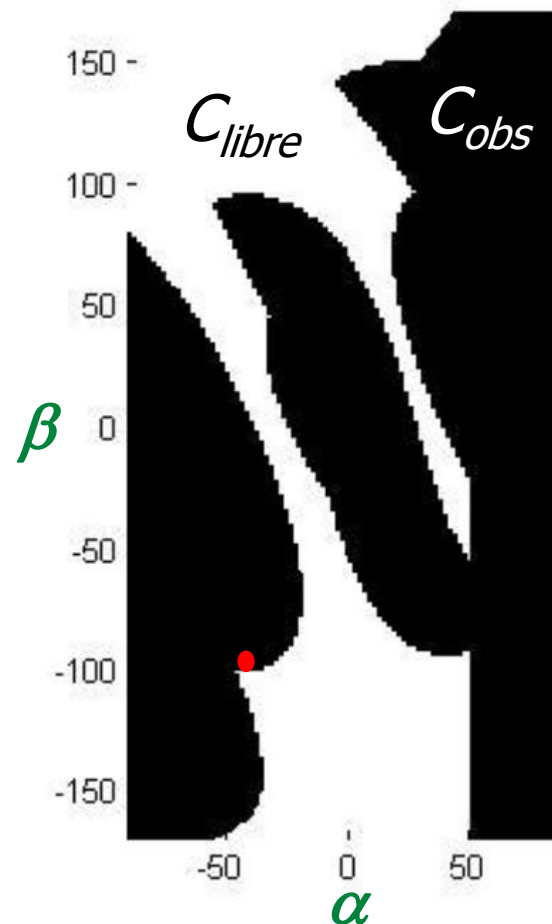
- Tiré du TP de 2011



$$\alpha = -45^\circ, \beta = -90^\circ$$



espace des configurations



Obstacle dans l'espace des configurations

construction de l'espace des configurations avec obstacles



□ C_{libre}

■ C_{obs}

Obstacle dans l'espace des configurations

construction de l'espace des configurations avec obstacles

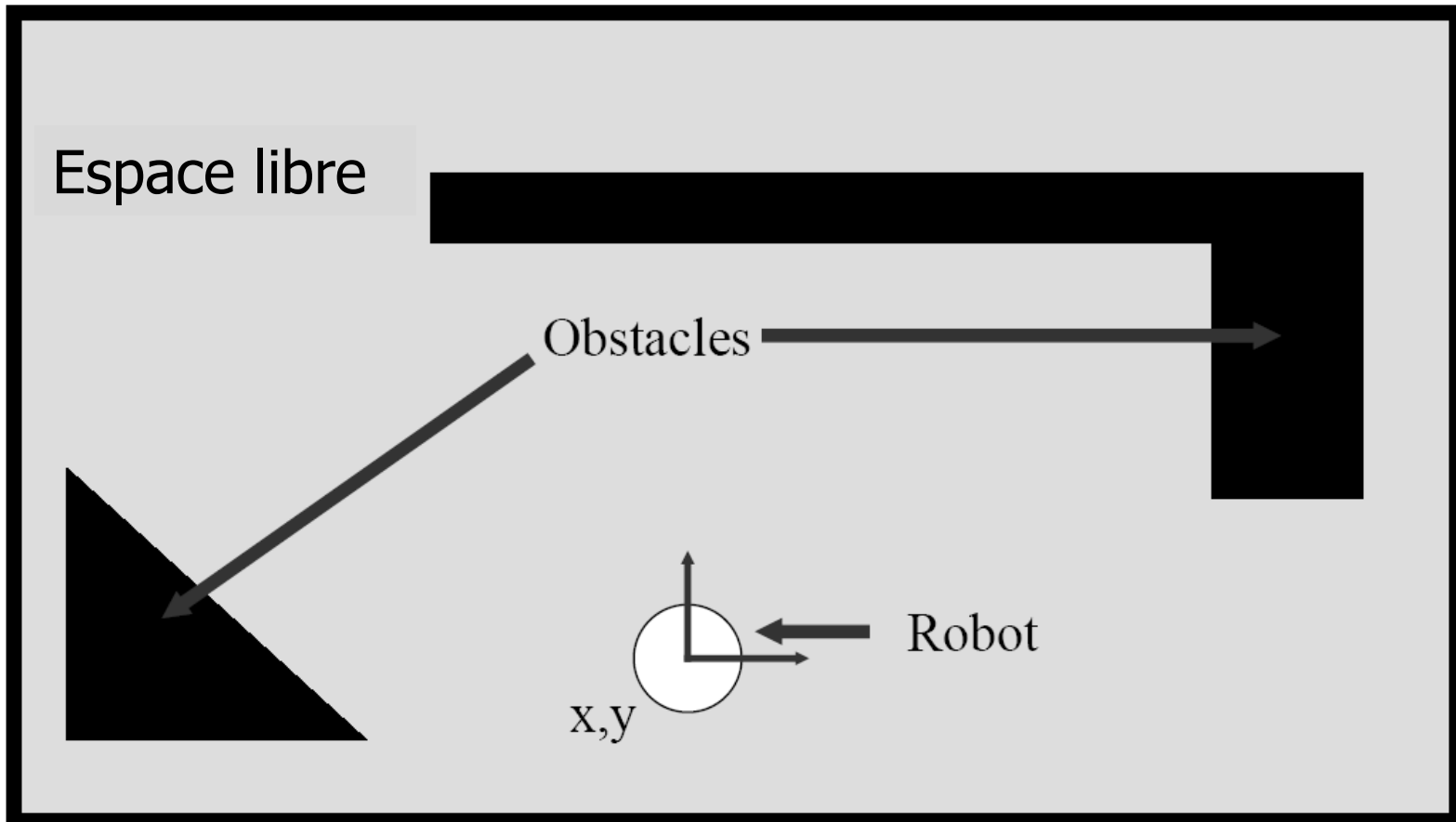


□ C_{libre}

■ C_{obs}

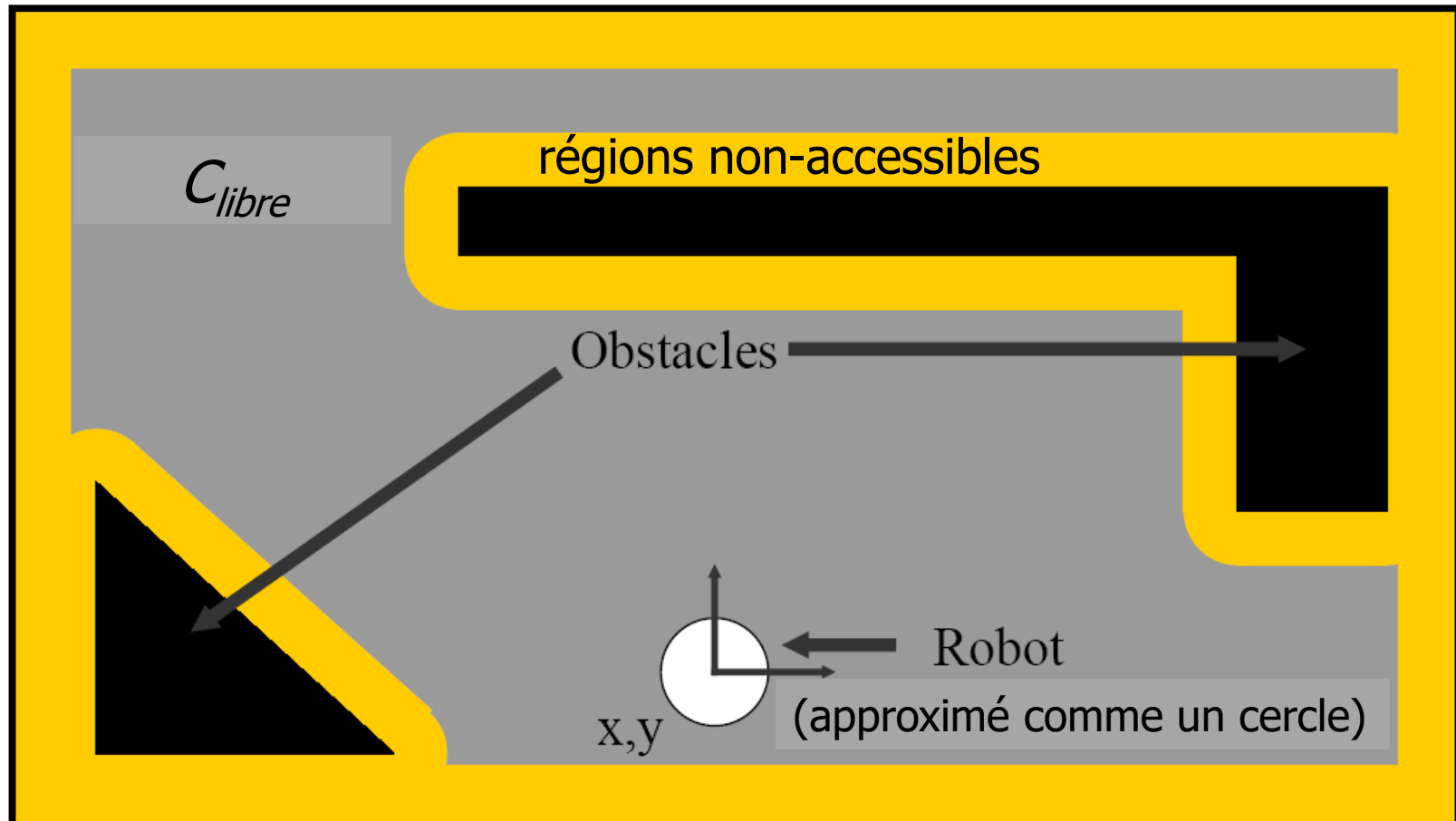
Espace de configuration C

- Pour un robot circulaire se déplaçant en x-y



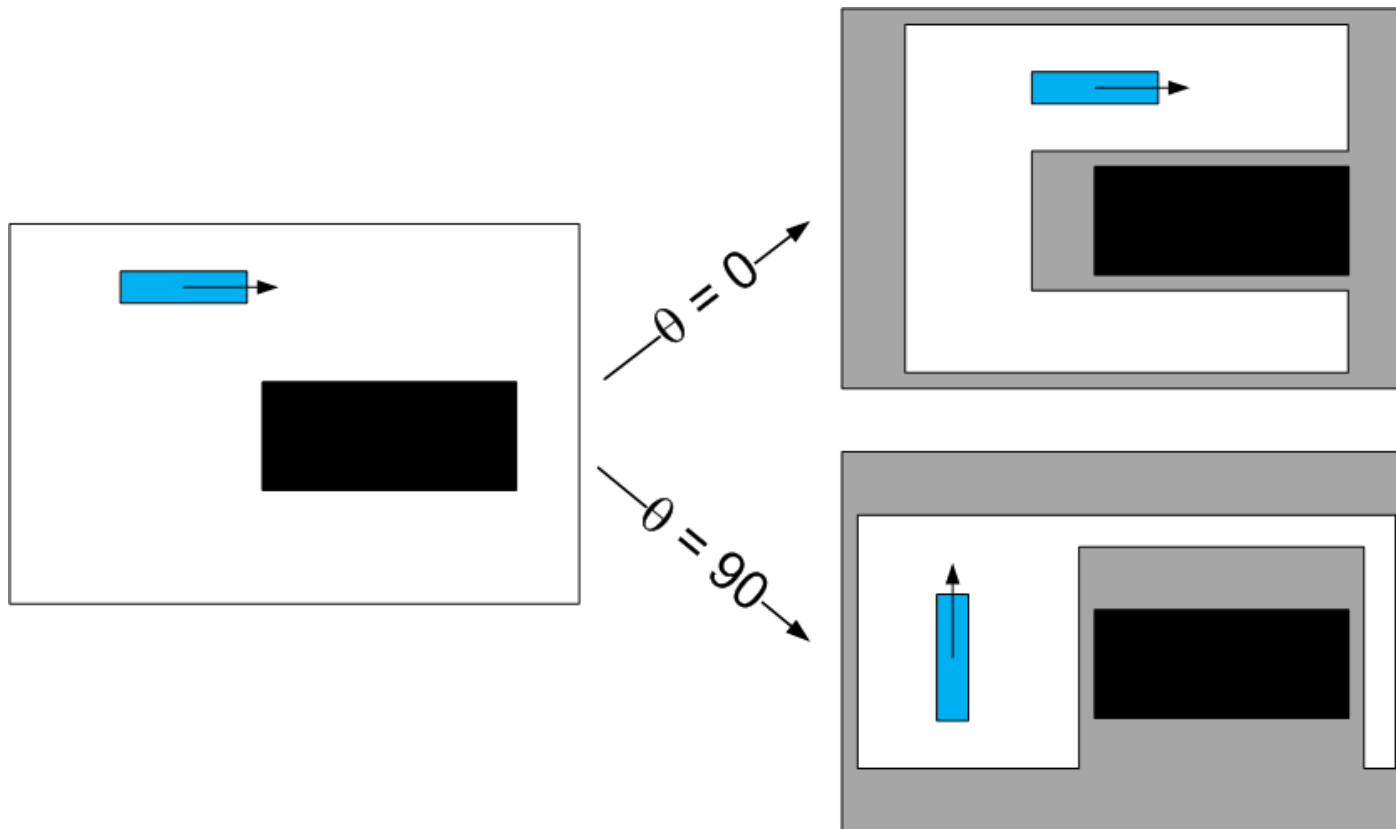
Espace de configuration C

- Le centre du robot ne peut être que dans le gris



Espace de configuration C

- Pour un robot se déplaçant en conduite différentielle : (x, y, θ) (3 dimensions)



Planification de trajectoire : abstraction

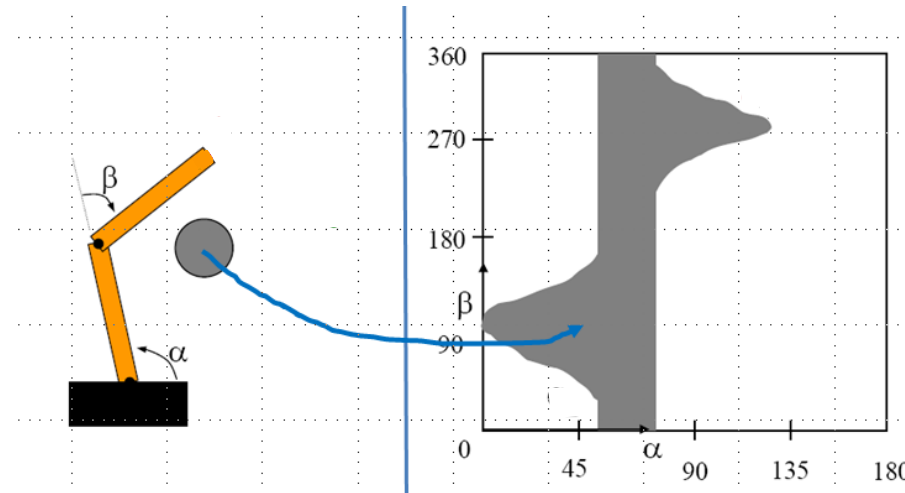
- ...aussi appelé « *piano mover's problem* »
 - On a :
 - espace de travail W en \mathbb{R}^2 ou \mathbb{R}^3
 - régions d'obstacles O
 - un robot R avec géométrie dans W
 - espace configuration C (avec $C = C_{libre} + C_{obs}$)
 - configuration initiale $q_1 \in C_{libre}$
 - configuration finale $q_2 \in C_{libre}$
- « monde physique »
- Trouver une trajectoire τ continue dans C_{libre} entre q_1 et q_2 .

Planification de trajectoire : abstraction

- ...aussi appelé « *piano mover's problem* »
- On a :

- espace de travail W en \mathbb{R}^2 ou \mathbb{R}^3
- régions d'obstacles O
- un robot R avec géométrie dans W
- espace configuration C (avec $C = C_{libre} + C_{obs}$)

calcul de C_{obs}
n'est pas facile



Planification de trajectoire : abstraction

- ...aussi appelé « *piano mover's problem* »

- On a :

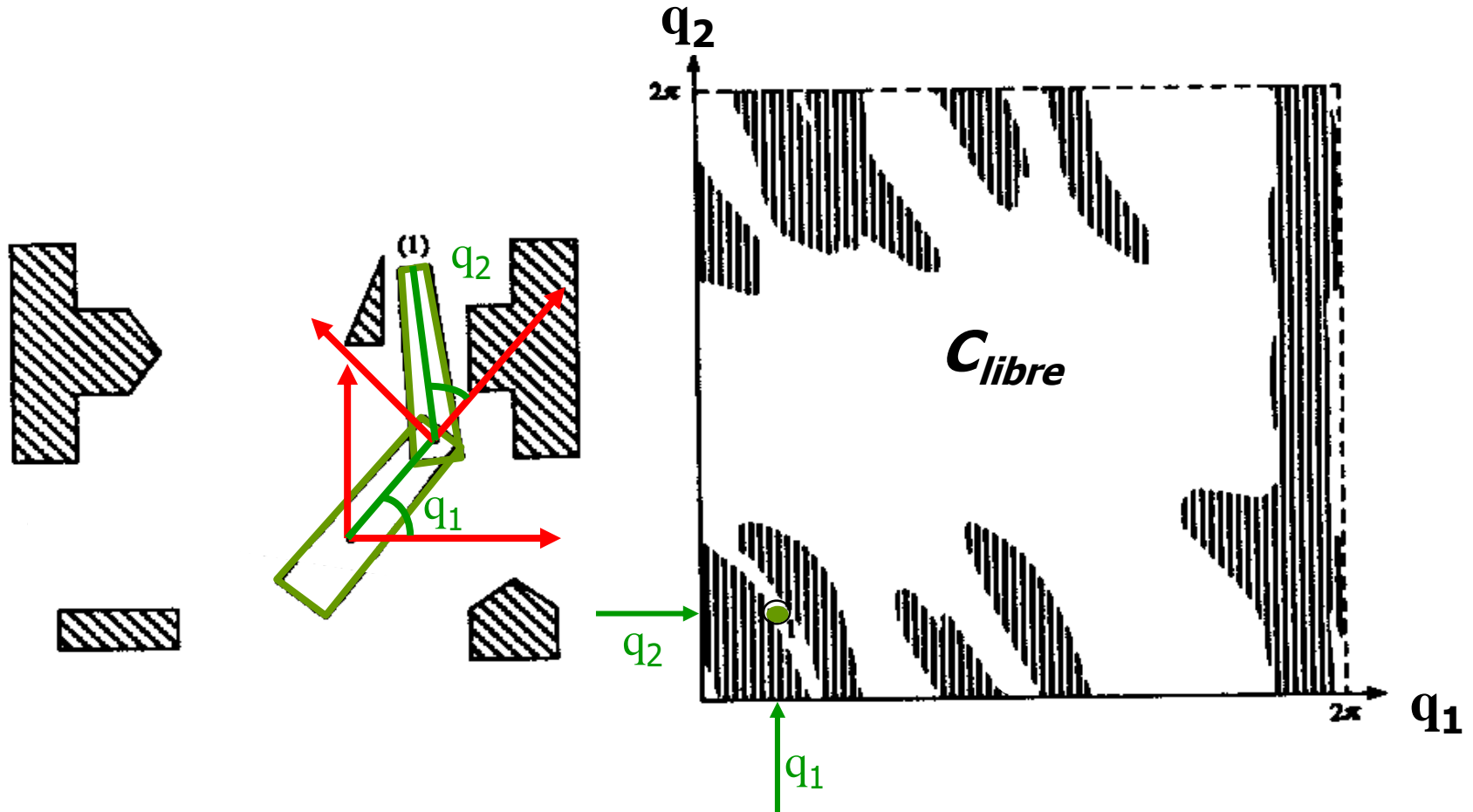
- espace de travail W en \mathbb{R}^2 ou \mathbb{R}^3
- régions d'obstacles O
- un robot R avec géométrie dans W
- espace configuration C (avec $C = C_{libre} + C_{obs}$)
- configuration initiale $q_1 \in C_{libre}$
- configuration finale $q_2 \in C_{libre}$

calcul de C_{obs}
n'est pas facile

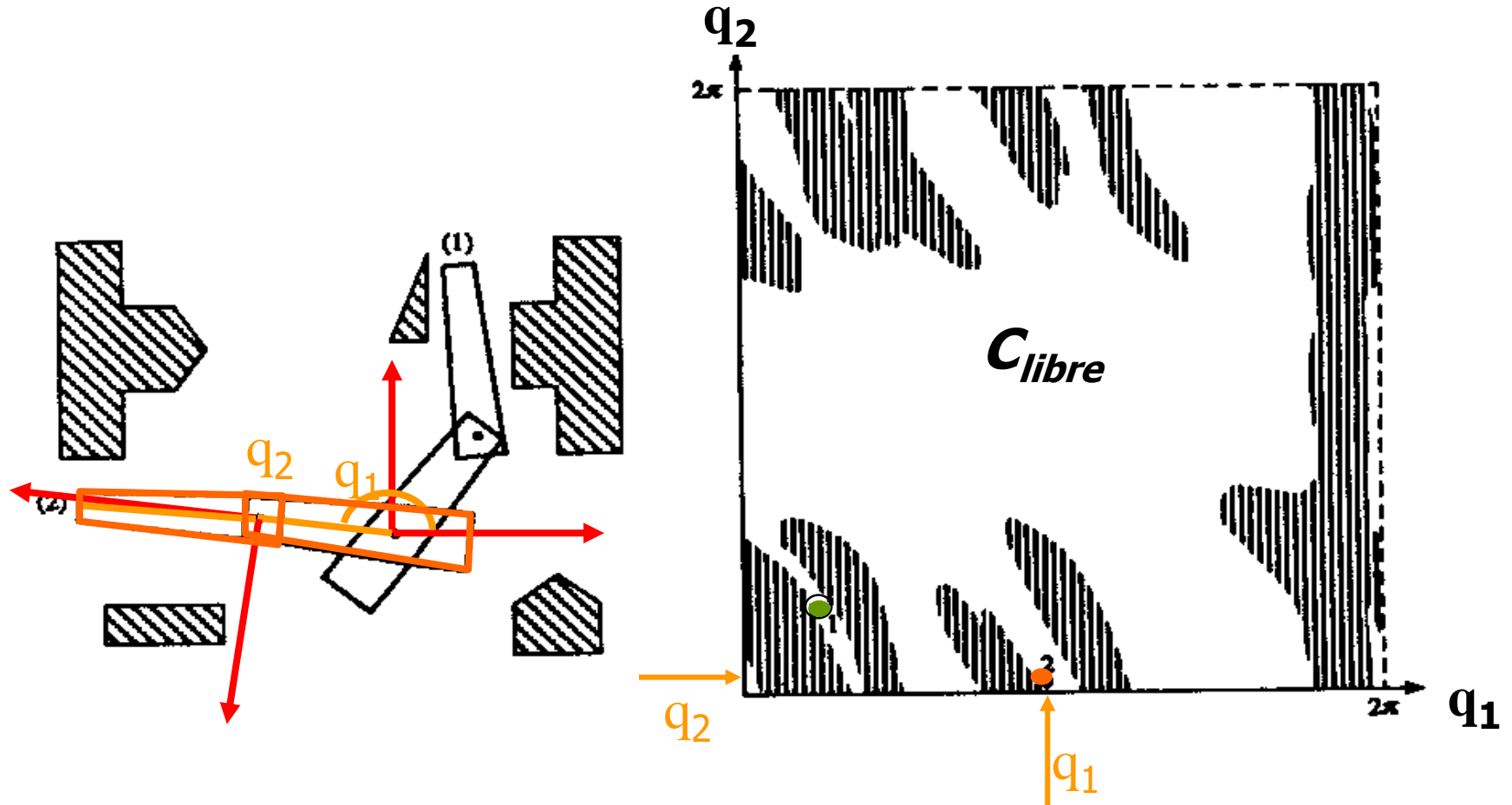
- Trouver une trajectoire τ continue dans C_{libre}
entre q_1 et q_2 .
calcul exact approximativement
exponentiel en dimension de q

Espace de configuration : position 1

- Pour un bras avec 2 joints rotatifs q_1 et q_2

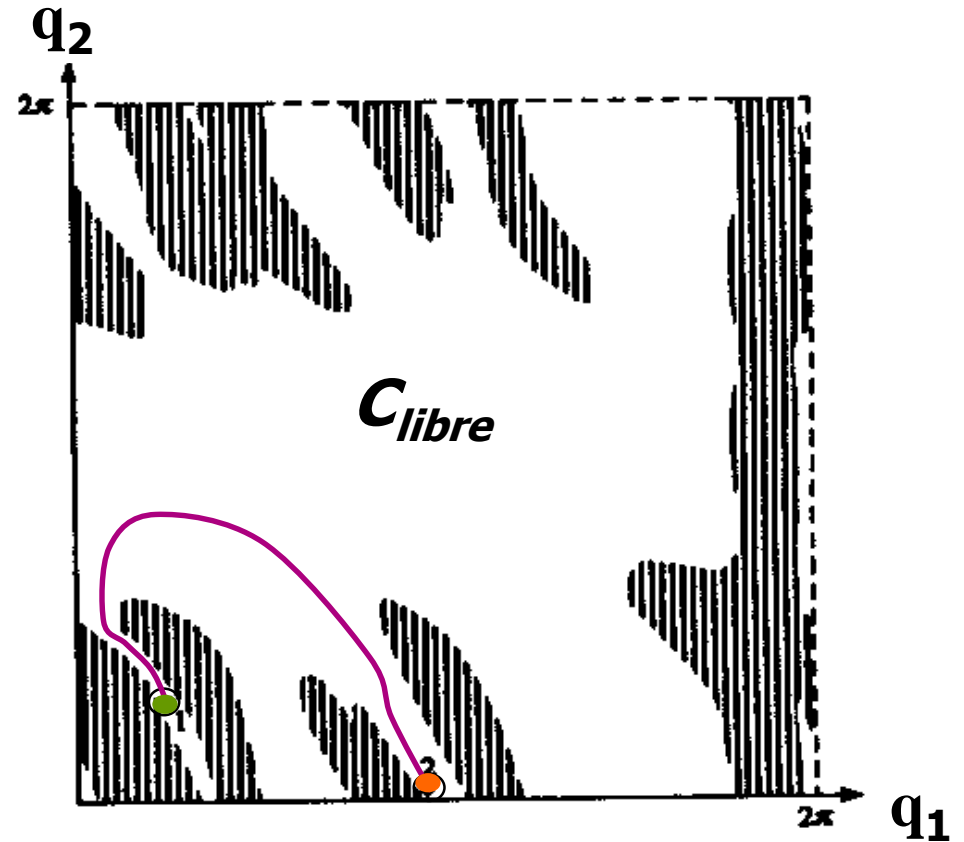
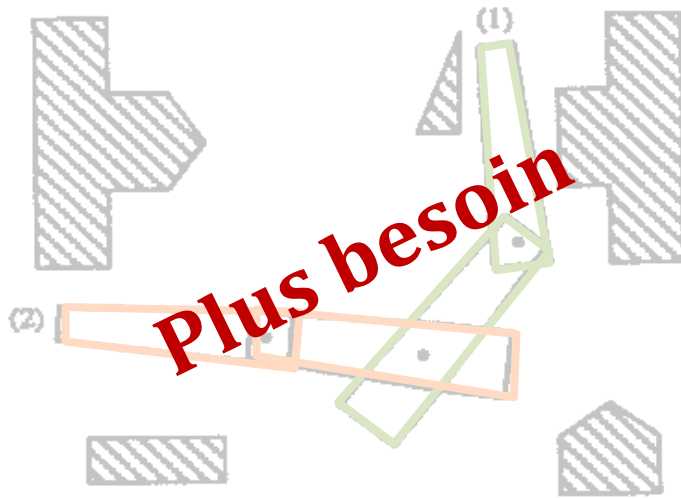


Espace de configuration : position 2



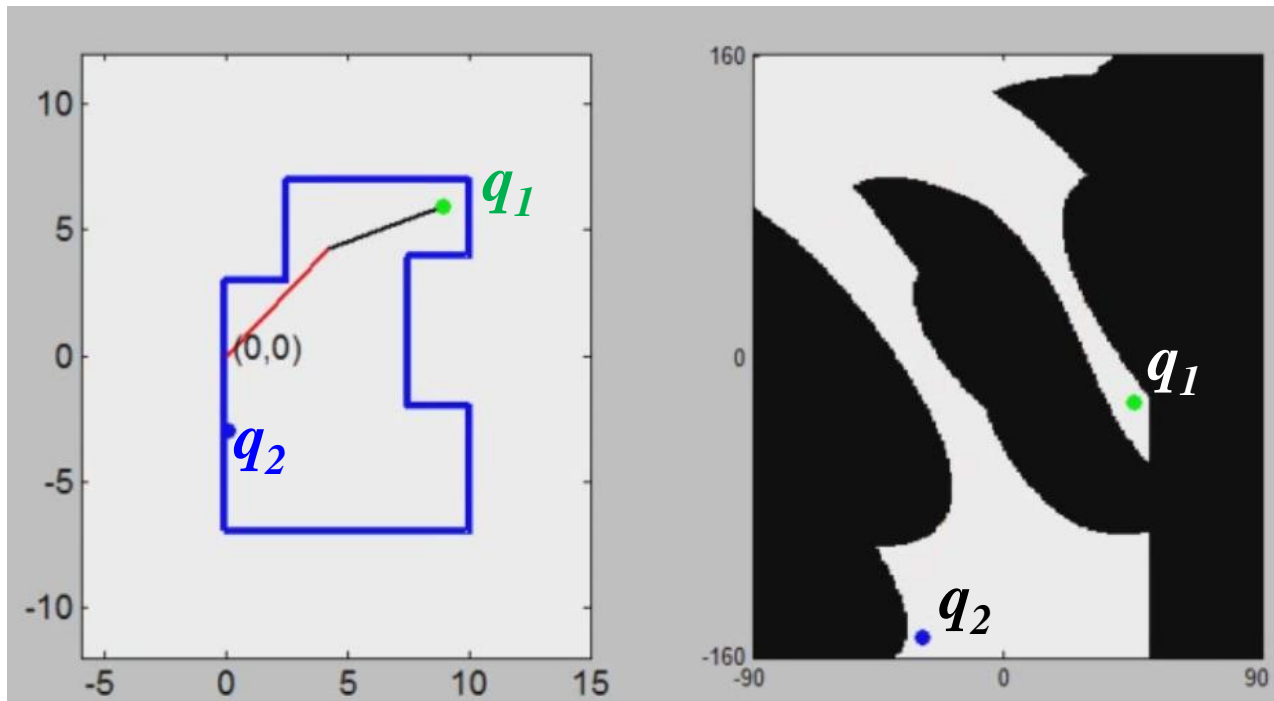
Espace de configuration

- Trajectoire possible entre q_1 et q_2 ? **oui!**

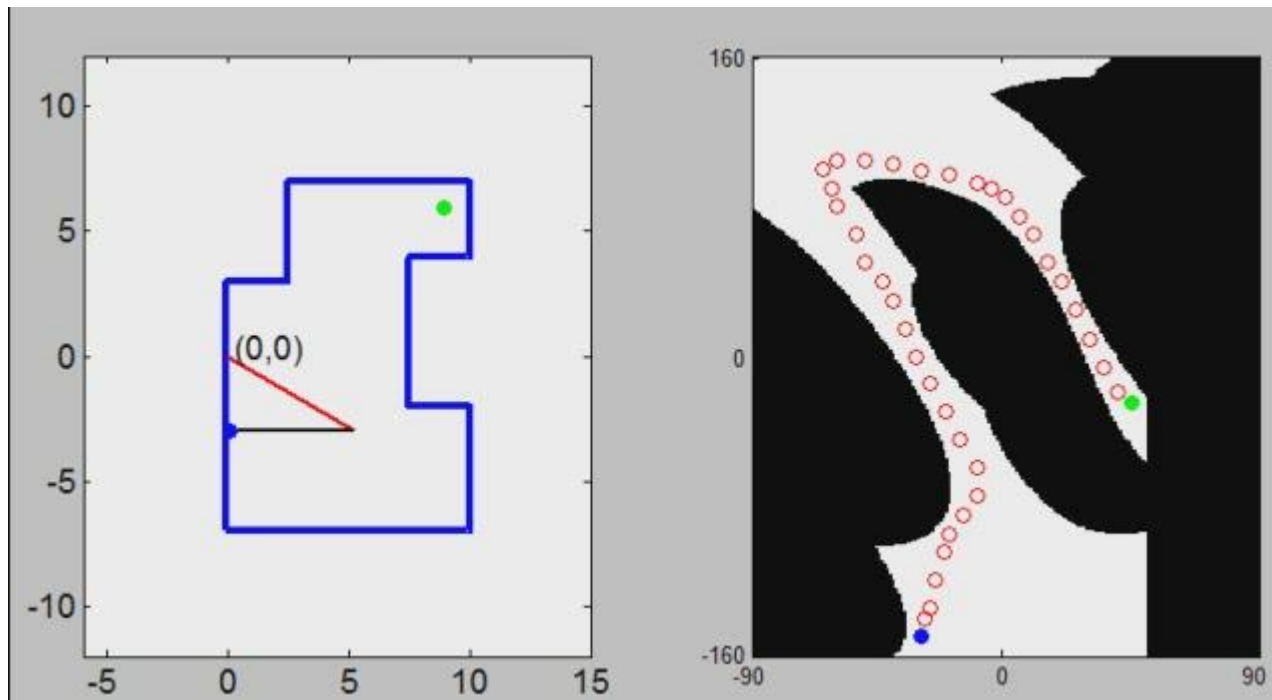


Exemple : bras robotisé

On veut déplacer le bout du bras (*end effector*) de q_1 à q_2 .



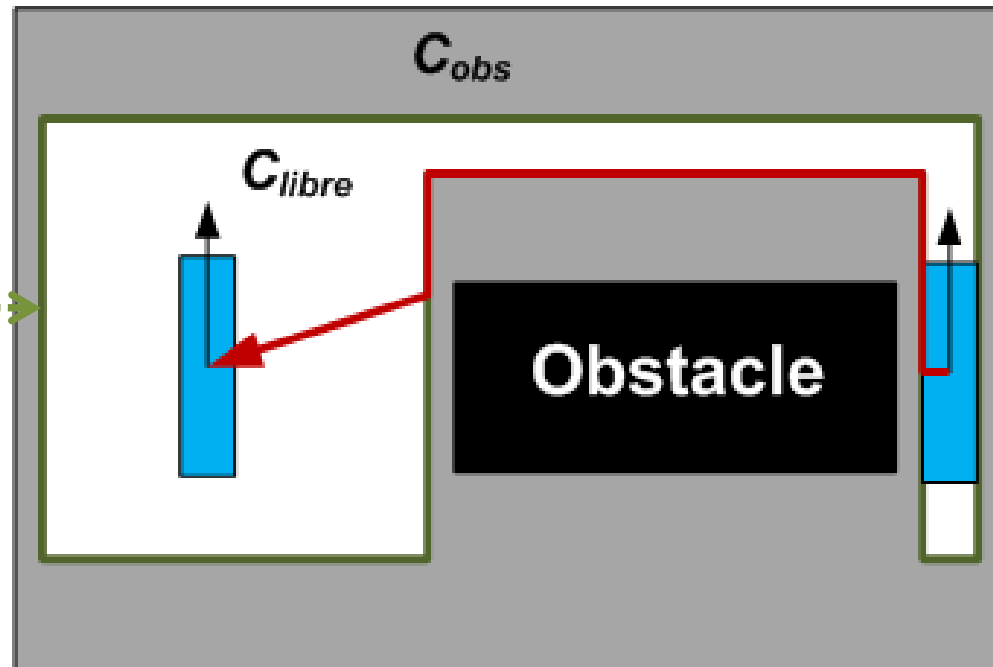
Exemple : bras robotisé



Configuration semi-libre

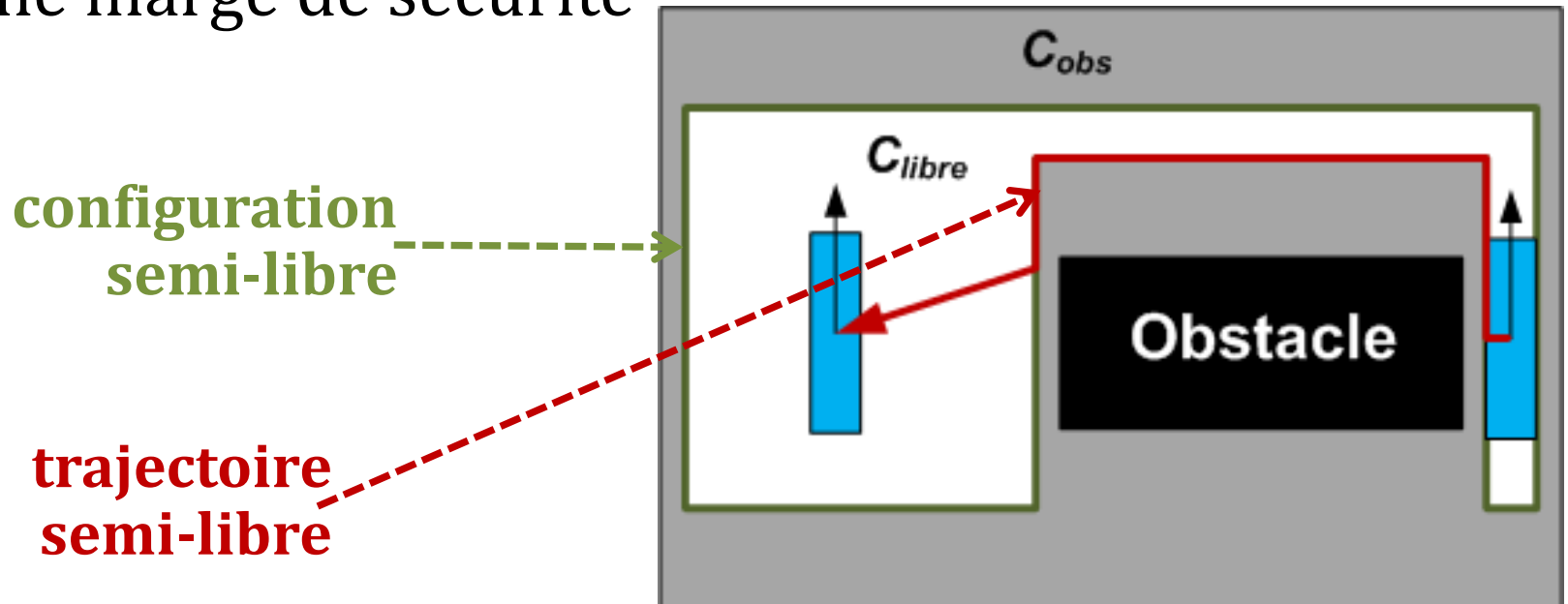
- Une configuration est semi-libre si le robot touche un obstacle, sans le pénétrer.
- Les configurations semi-libres sont à la bordure entre C_{obs} et C_{libre} .

configuration
semi-libre



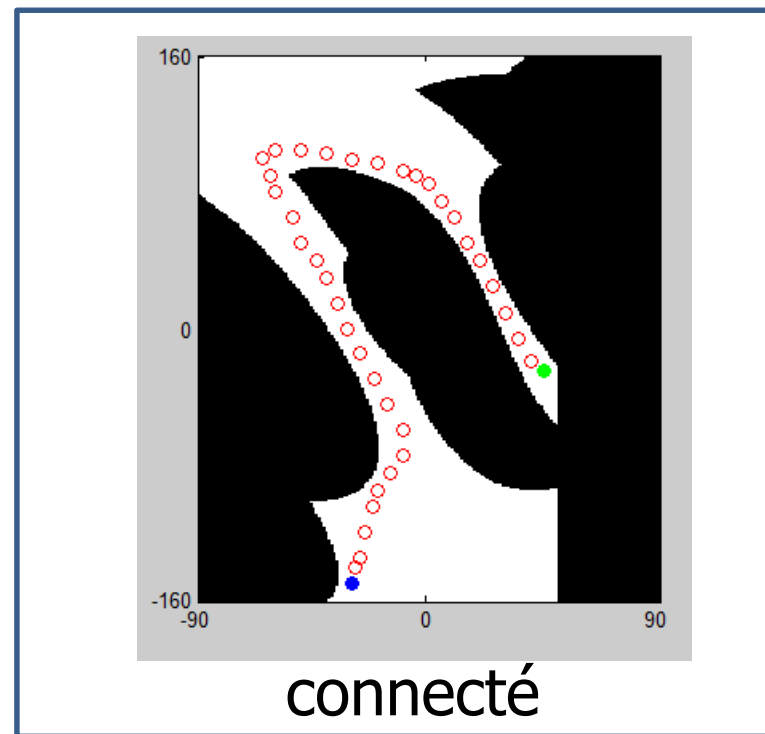
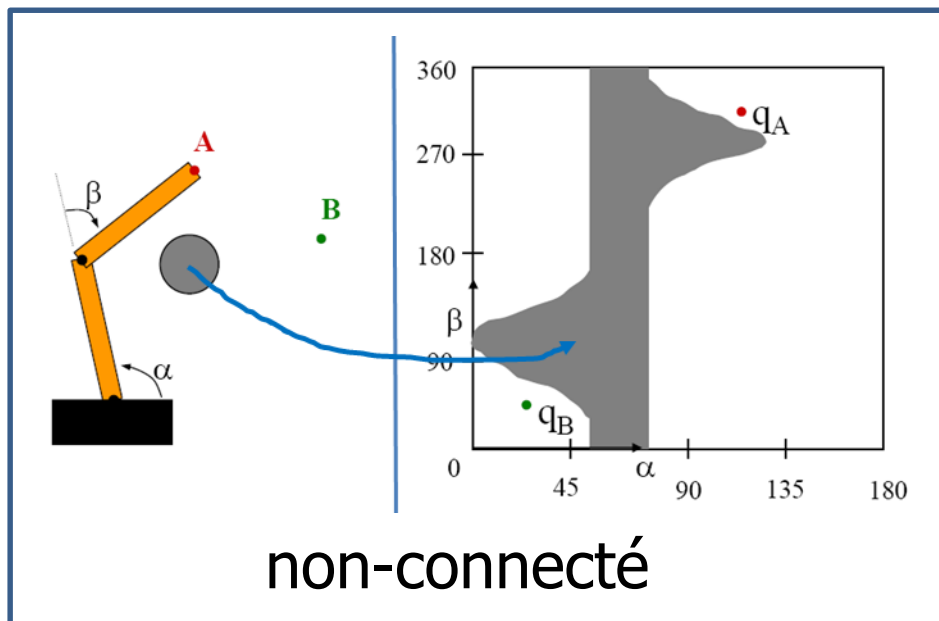
Trajectoire semi-libre

- Trajectoire est libre si entièrement dans C_{libre} .
- Trajectoire est semi-libre si elle contient au moins une configuration semi-libre.
- On cherche, en général, à éviter ces configurations : aucune marge de sécurité



Connectivité de l'espace-C

- L'espace de configuration \mathcal{C} est connecté s'il existe une trajectoire entre n'importe quelle paire de configuration q_1 et q_2 dans \mathcal{C}_{libre}



Planification de mouvements

- Recherche à trouver une trajectoire dans l'espace des configurations, sans collision $\rightarrow C_{libre}$
- **Méthodes déterministes**
 - à chaque fois, l'algorithme retourne la même réponse
- **Probabilistes**
 - fonctionne par échantillonnage au hasard
 - ne trouve pas toujours la même trajectoire

Méthodes Déterministes

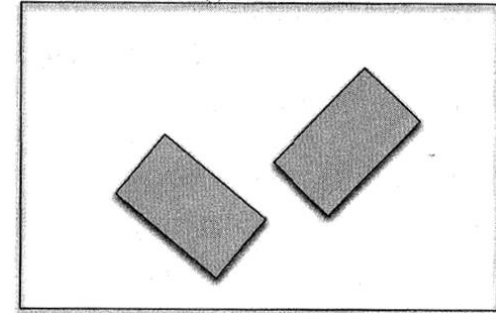
- Par discrétisation :
 - Graphe des visibilités
 - Décomposition cellulaire verticale
 - ~~– Diagrammes de Voronoï~~
- ~~• Algorithmes *bug0*, *bug1* et *bug2*~~
- Champs de potentiels
- Propagation de front d'ondes

Solutions exactes vs approximatives

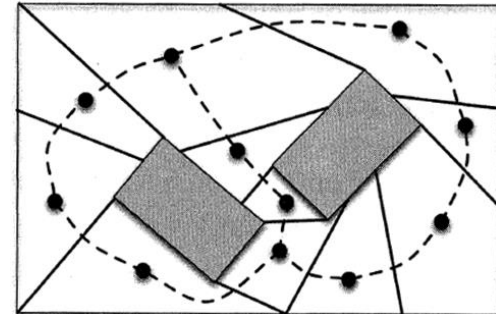
- Un algorithme **exact** :
 - trouvera une solution si elle existe
 - **algorithme complet**
 - temps de calcul trop important pour des problèmes intéressants (e.g. humanoïdes à 30 joints).
- Un algorithme **approximatif** :
 - n'assure pas de trouver la solution...
 - ...mais est plus rapide.
 - *e.g.* grille discrète des configurations
 - (angle multiples de 5° , par exemple)

Discrétisation de l'espace

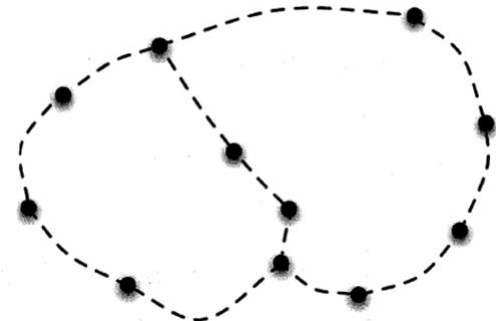
Représentation continue
(espace des configurations)



Discrétisation
+ graphe

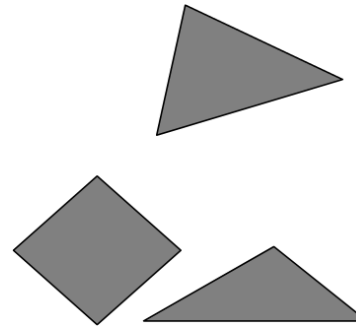


Recherche dans graphe
(blind, best-first, A*)

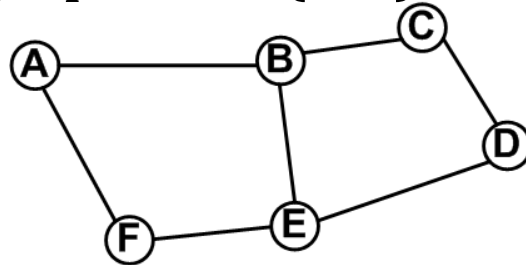


Graphe des visibilités

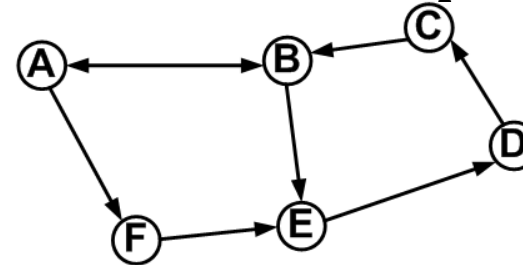
- Vous avez une carte géométrique connue
- Obstacles sont des **polygones**



- Utilise graphe $G = (E, V)$ non-orienté comme représentation



graphe non-orienté



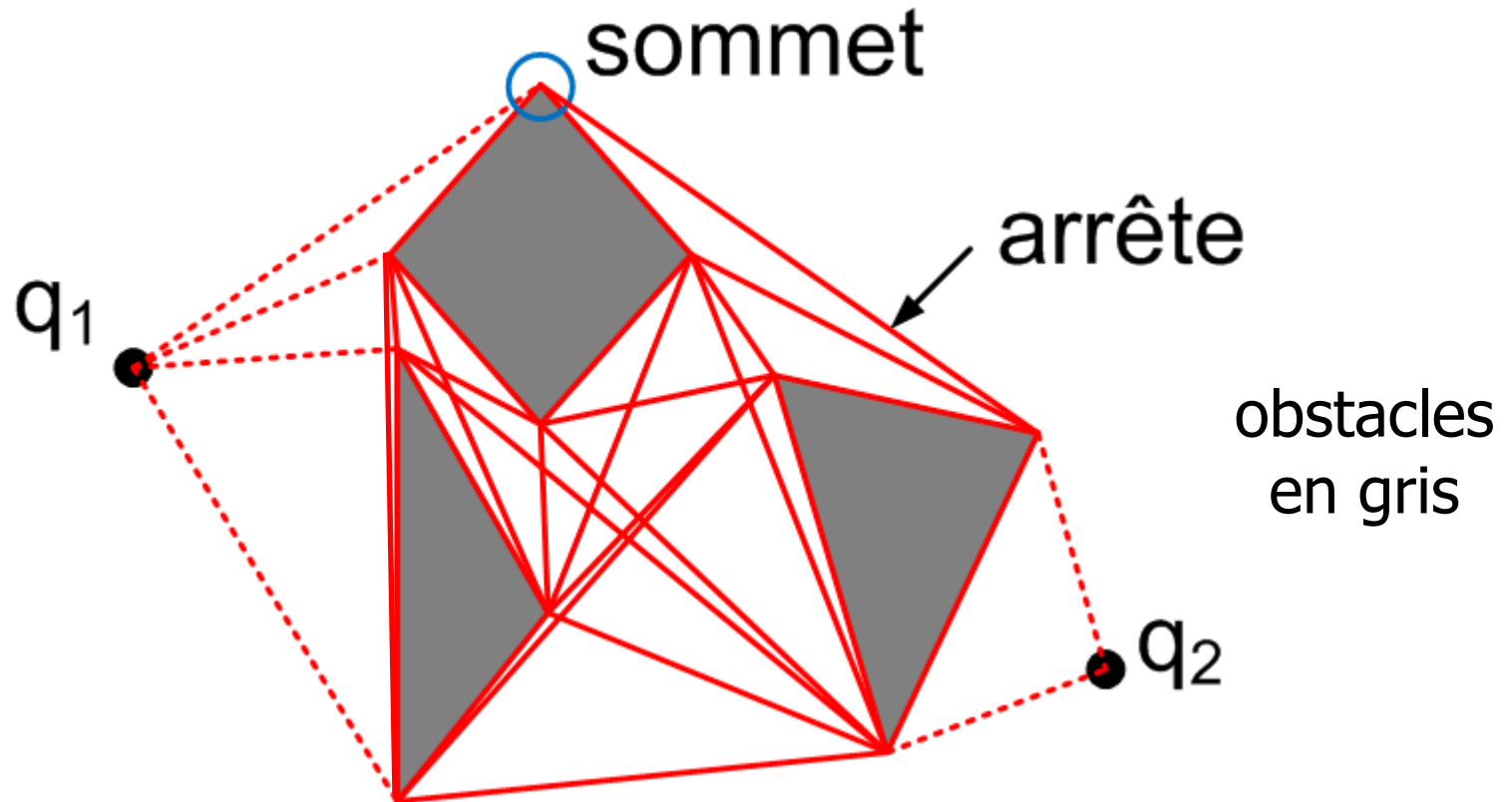
graphe orienté

- **Algorithme complet***
- Approprié pour monde 2D
- Approche par « carte routière » : *roadmap*

*complet : qui retourne une solution, si elle existe

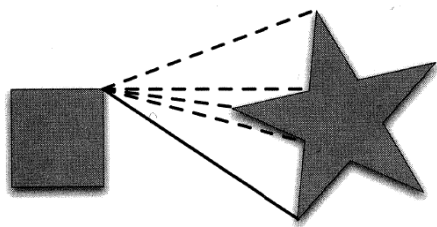
Discrétisation : graphe des visibilités

- Les sommets V des obstacles qui sont mutuellement visibles sont connecté ensemble par une arrête E .

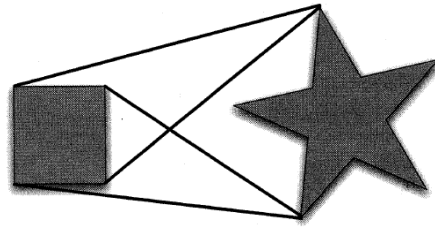


Graphe des visibilité réduites

- Une ligne passant par deux sommets $V_1 \in \mathbf{A}$ et $V_2 \in \mathbf{B}$ est dite tangente si elle ne passe pas à l'intérieur d'un des deux obstacles \mathbf{A} ou \mathbf{B} .
- Vient réduire le nombre d'arrête E dans graphe G .

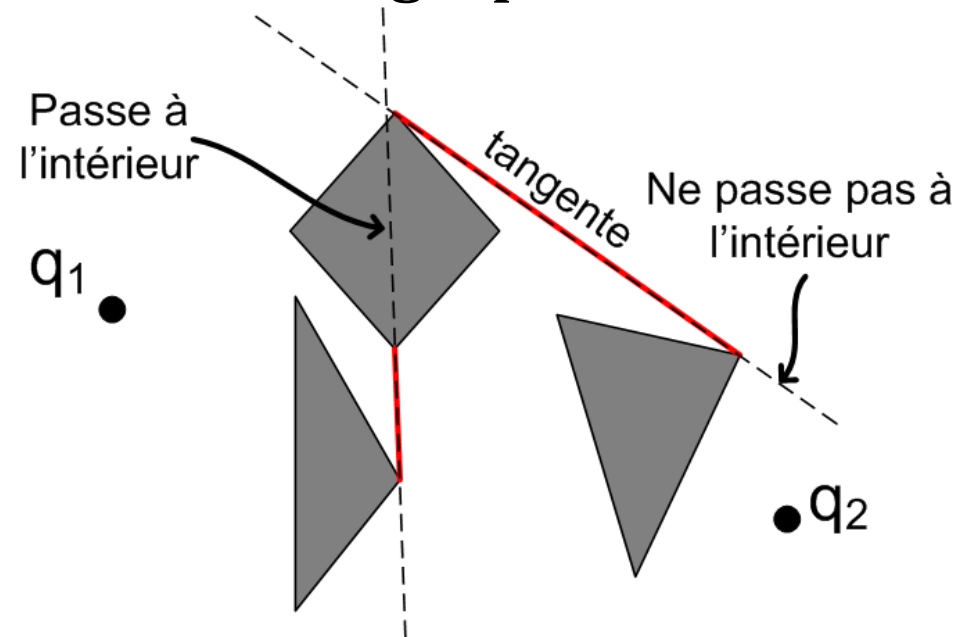


(a) Co-tangent lines from one vertex



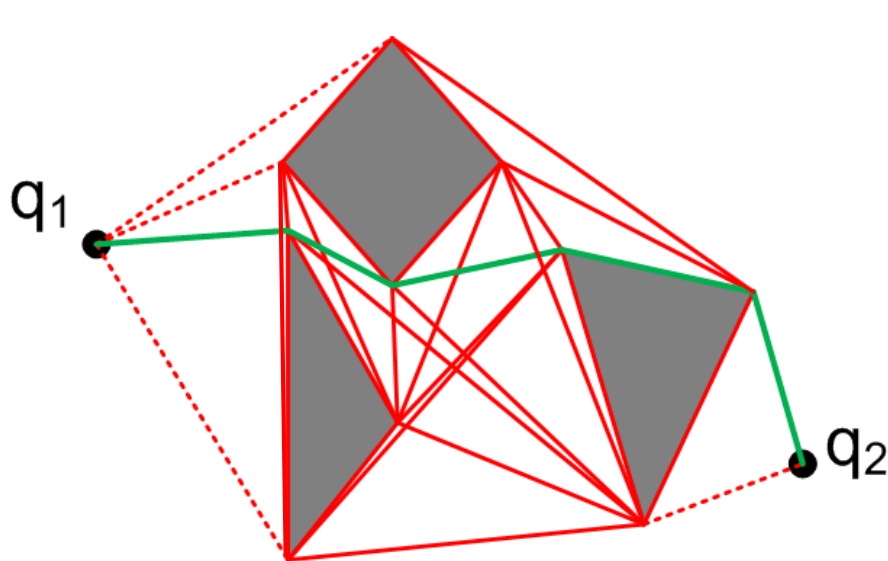
Co-tangent lines between two objects

Au maximum, 4 tangentes par
paire d'obstacles

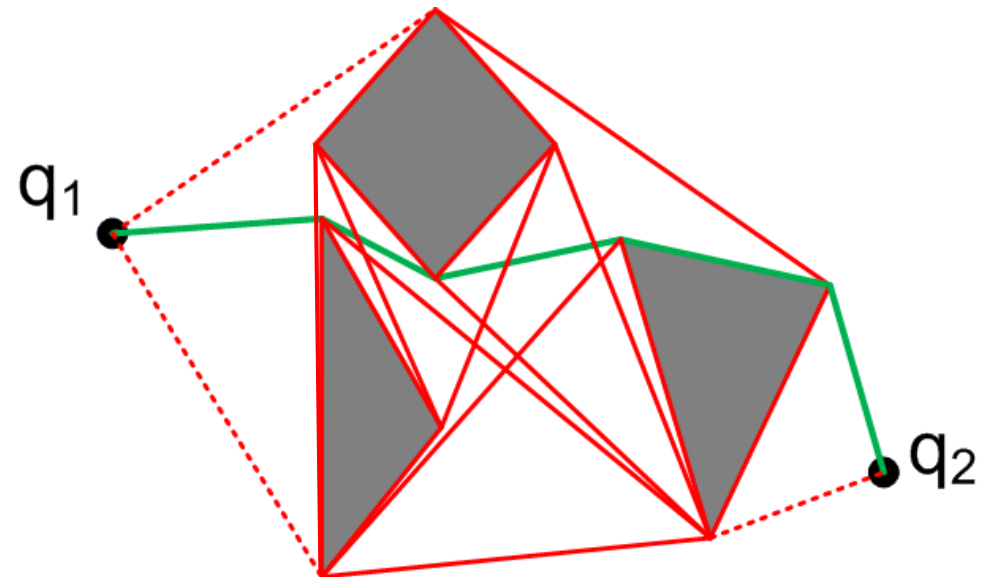


Graphe des visibilité réduites

- Graphe plus simple = recherche plus rapide
- Donne toujours la solution la plus courte



graphe des visibilités



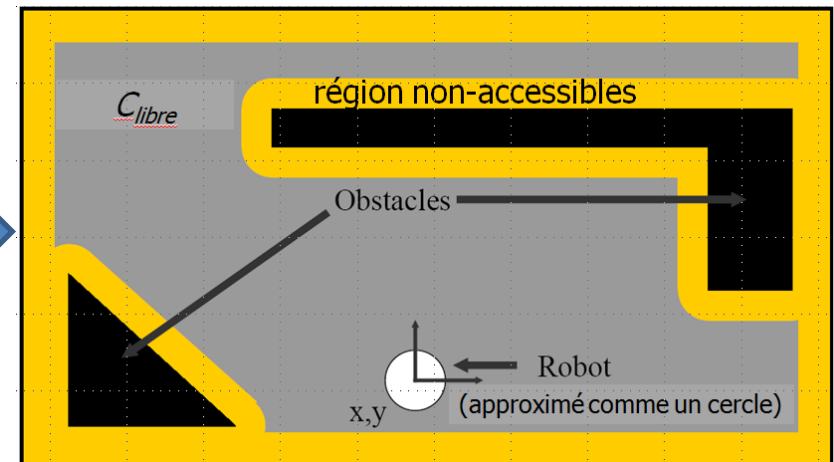
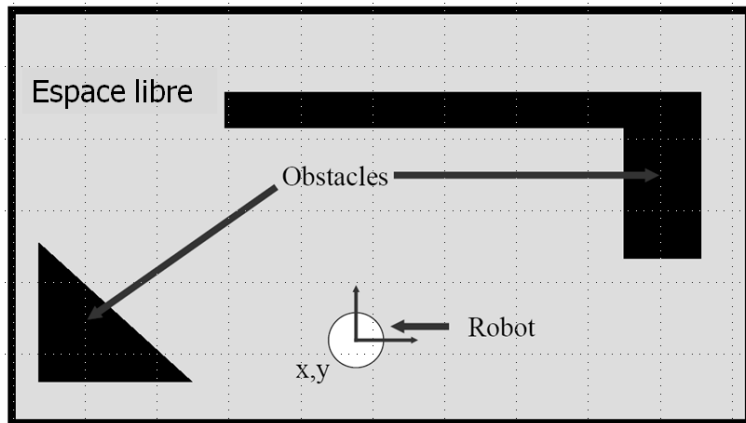
graphe des visibilités réduites

Graphe des visibilités

- Produit nécessairement la trajectoire la plus courte entre q_1 et q_2 ...
- ...mais avec possiblement des trajectoires semi-libres...
- ...et pour un robot de la taille d'un point.

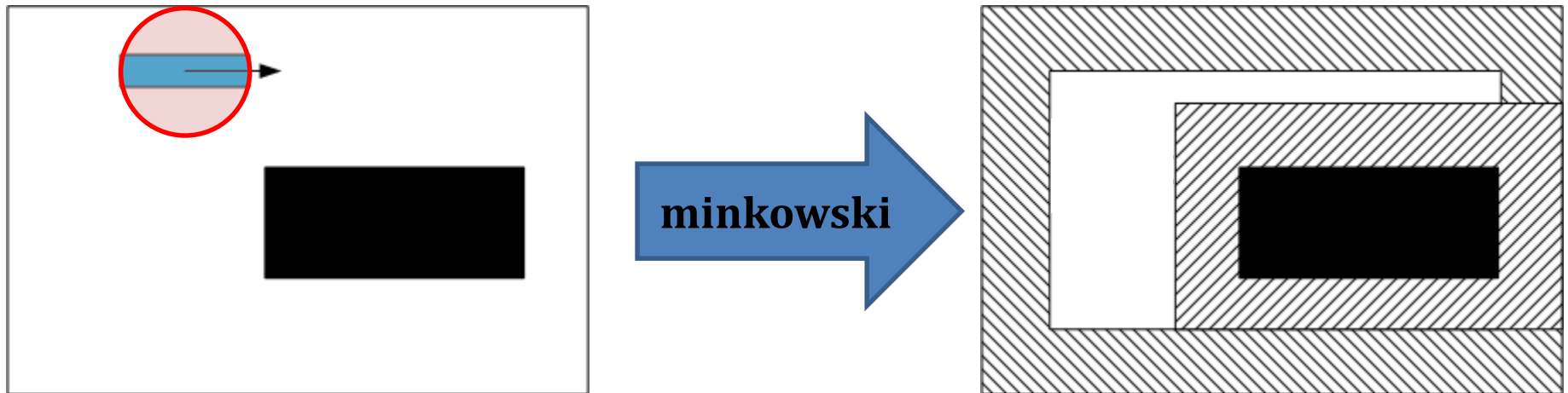
Somme de Minkowski

- Somme de Minkowski :
 - « gonfle » les obstacles pour tenir compte taille robot
 - robot redevient un point
- Algo complet seulement si le robot est circulaire

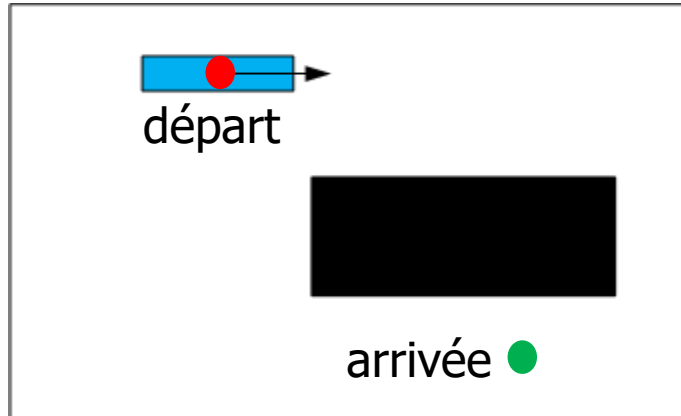


Somme de Minkowski

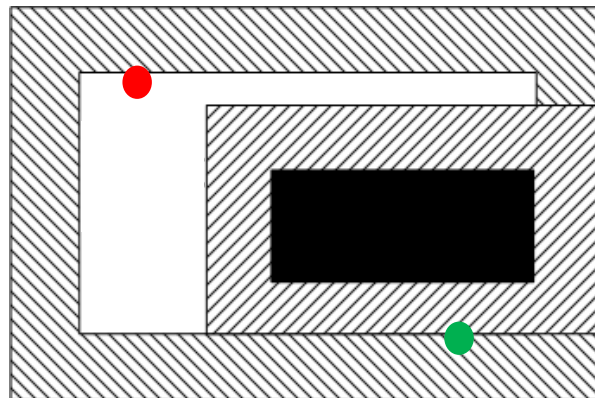
- Aucune garantie d'être complet si non-circulaire



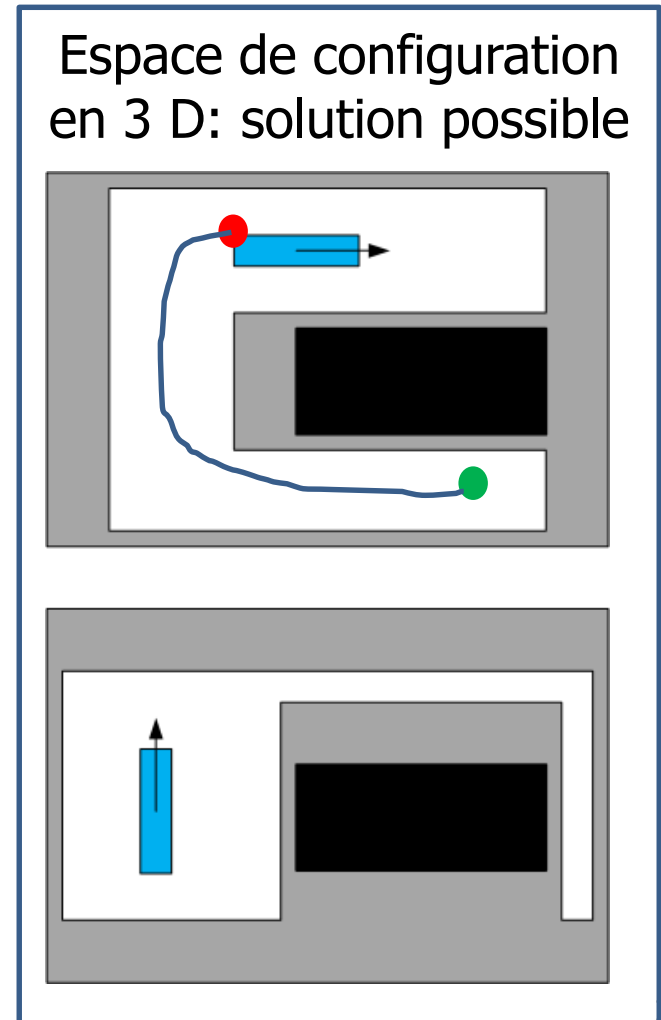
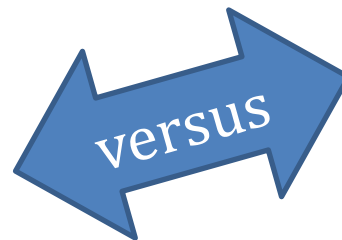
Somme de Minkowski



NON-COMPLET!



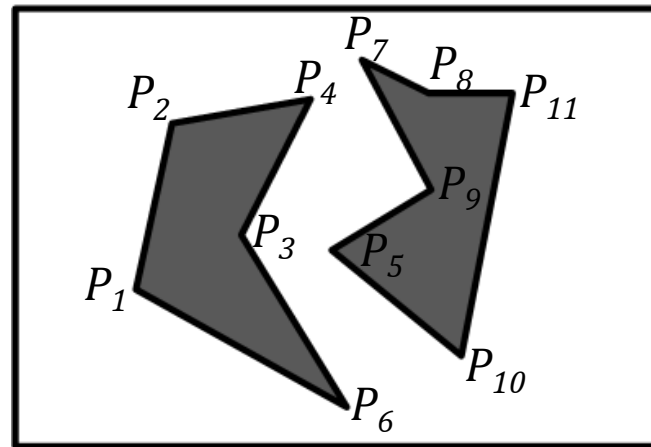
Minkowski : pas de solution



Décomposition cellulaire verticale

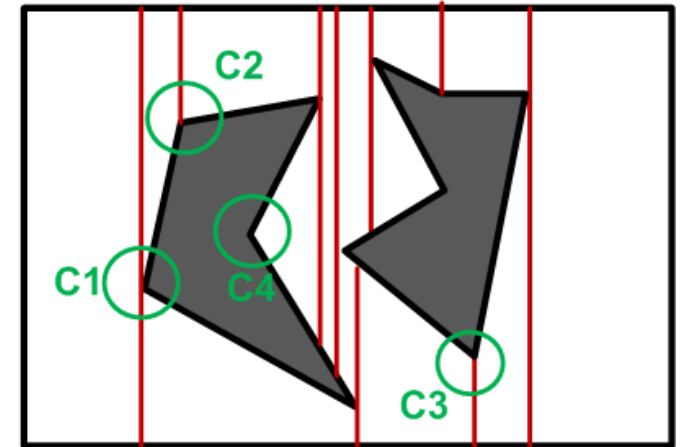
- Décomposer une carte 2D en trapèzes et triangles (éléments convexes),
- Pour chaque sommet P_i des obstacles:
 - étend **ligne verticale** en haut et en bas, jusqu'à un obstacle
- 4 cas possibles:

- **C1**:(haut,bas)
- **C2**:(haut),
- **C3**:(bas),
- **C4**:(aucun)

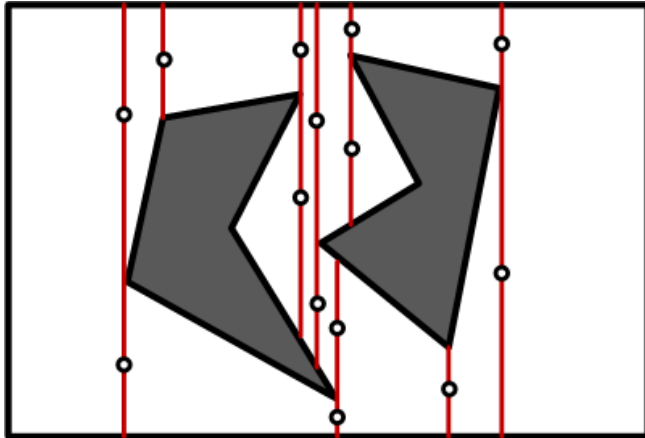


— balayage →

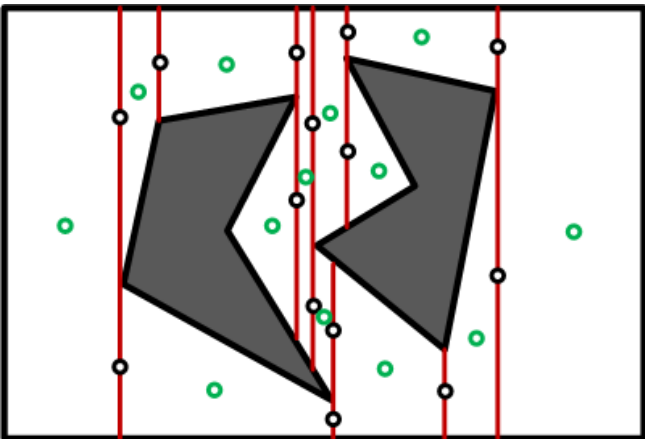
Étape 1



Décomposition cellulaire verticale



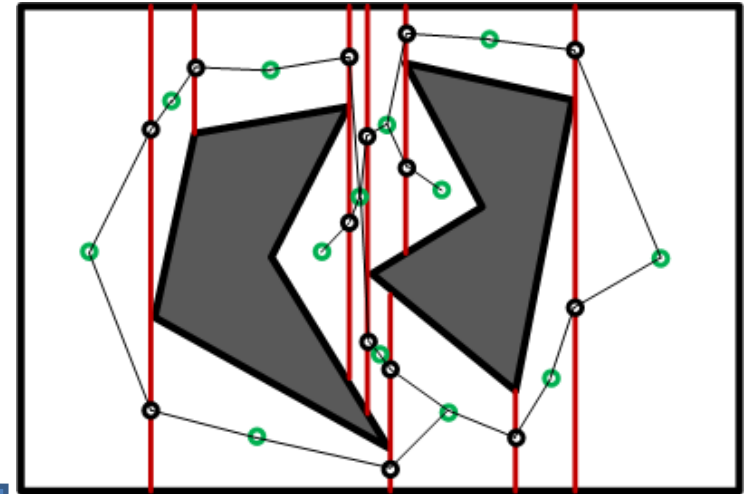
Étape 2:
place 1 point au
milieu frontière
entre cellules



Étape 3:
place 1 **point** au
milieu de la
cellules



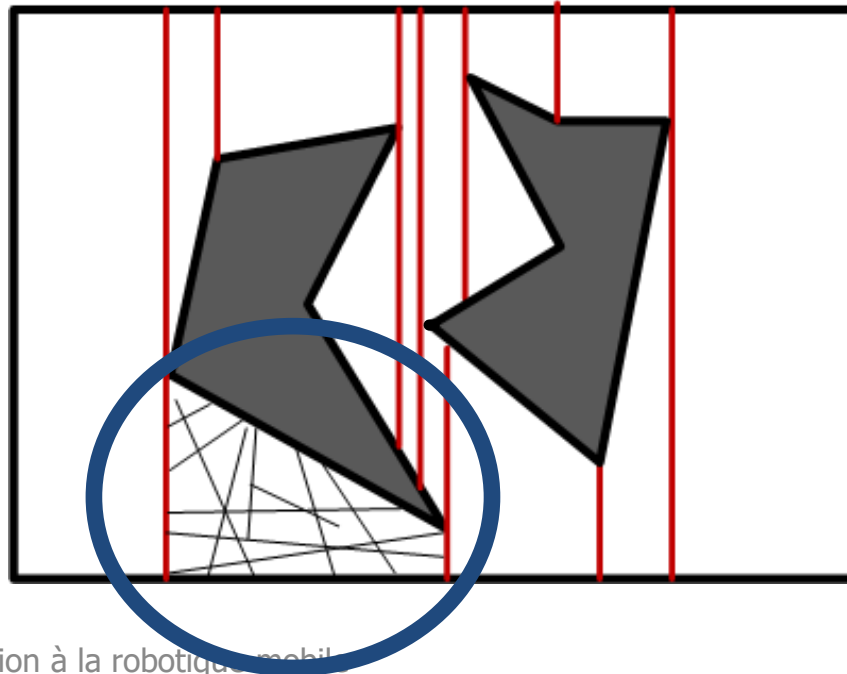
- Créer une
carte routière



Étape 4:
relie les **centres**
aux points
frontières

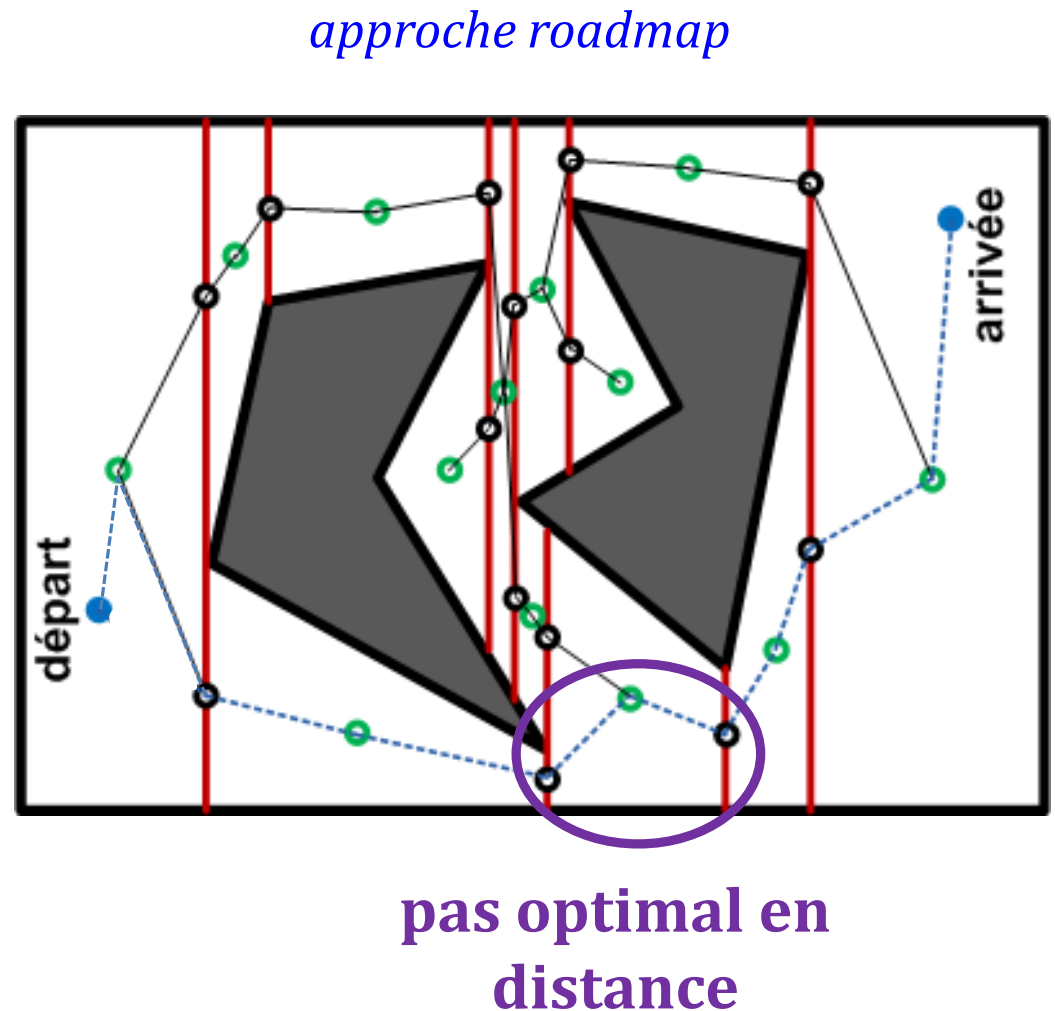
Décomposition cellulaire verticale

- Chaque cellule est convexe
 - ce qui veut dire que dans une cellule, on peut rejoindre n'importe quel autre point à l'intérieur, en ligne droite.



Décomposition cellulaire verticale

- Planification :
recherche du chemin
le plus court dans le
graphe
- Donne des trajectoires
qui sont en général
loin des obstacles
- Création de la carte :
complexité $O(n \log n)$



Champs de potentiels

- Imaginez que :
 - **robot** est une particule **+**
 - **obstacles** sont aussi chargés **+** (répulsion)
 - **but** est chargé **-** (attraction)
- Trajectoire est le chemin parcouru par la particule (robot) dans le champs de potentiel

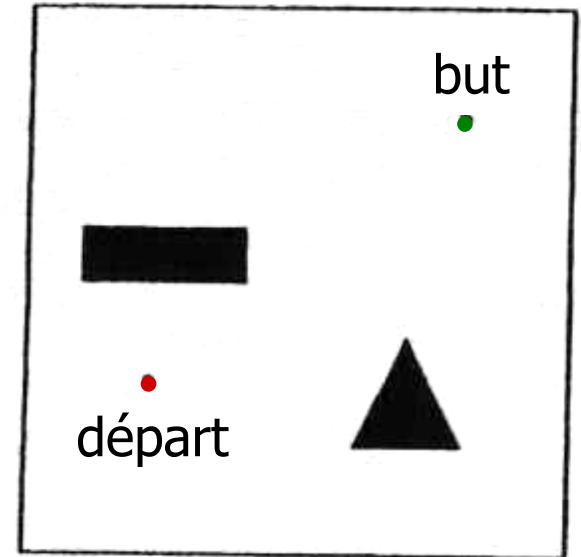
Champs de potentiels

Calcul des forces de répulsions et d'attraction

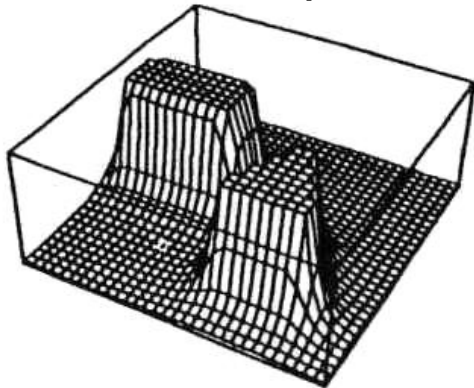
$$U(q) = U_{but}(q) + \sum U_{obstacles}(q)$$

$$F = -\nabla U(q) = \begin{bmatrix} \frac{\partial}{\partial x} U(q) \\ \frac{\partial}{\partial y} U(q) \end{bmatrix}$$

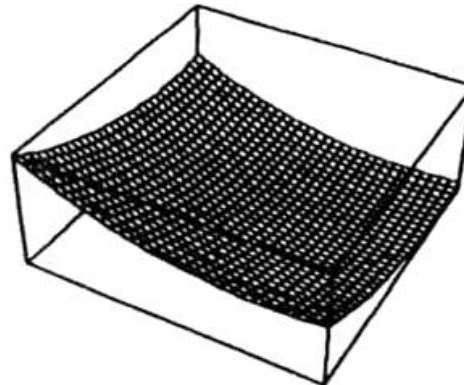
gradient ∇ indique la direction maximale de croissance d'un champ scalaire



potentiel de répulsion

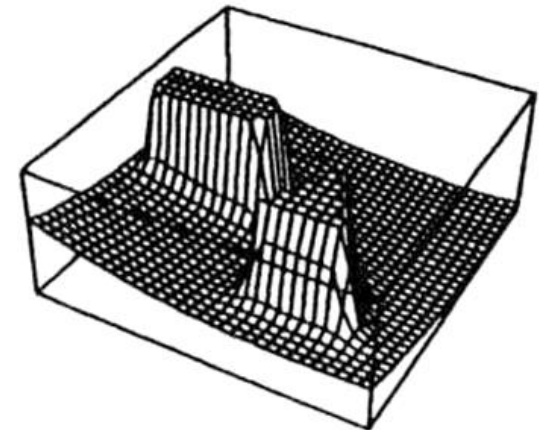


potentiel d'attraction



+

=



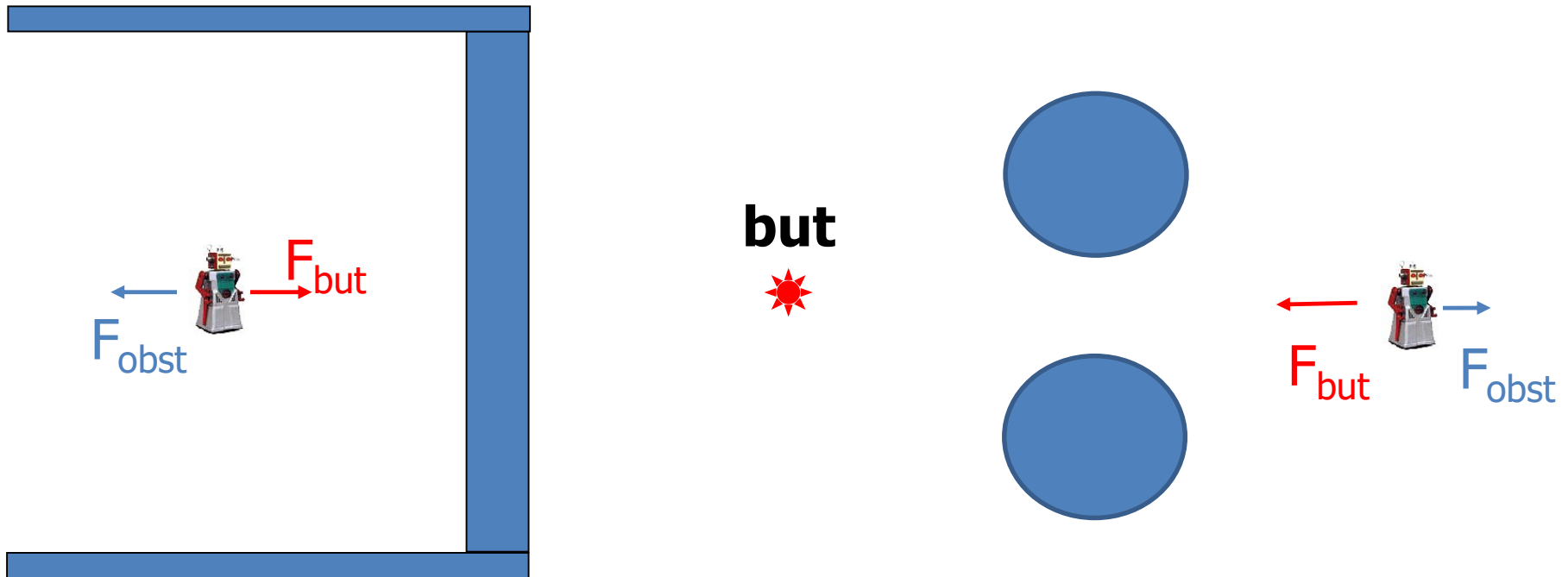
$$\sum U_{obstacles}(q)$$

$$U_{but}(q)$$

$$U(q)$$

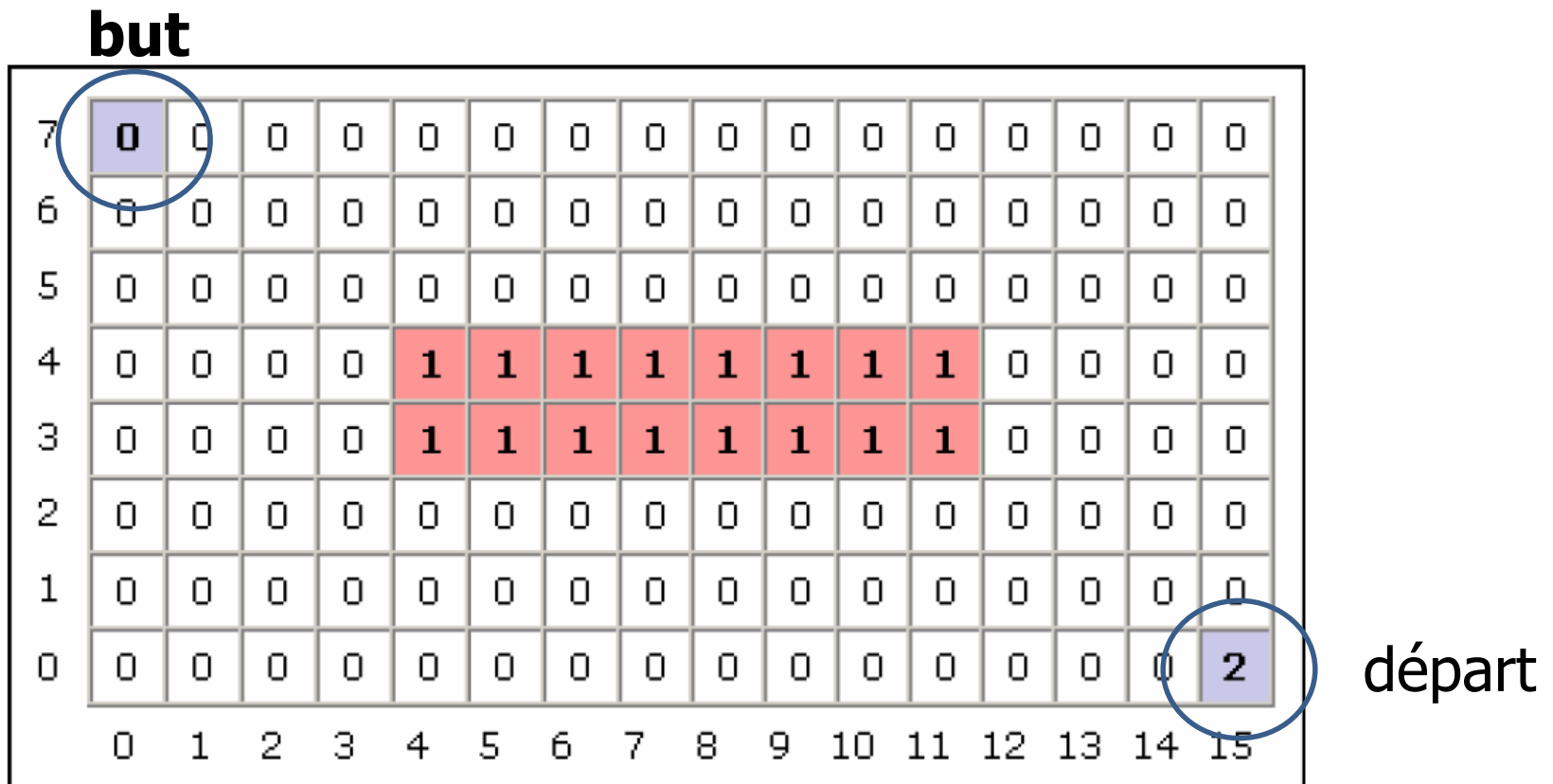
Champs de potentiels

- Tombé en partie en désuétude parce que sensible aux minimum locaux.



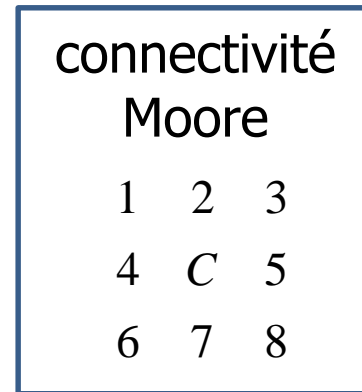
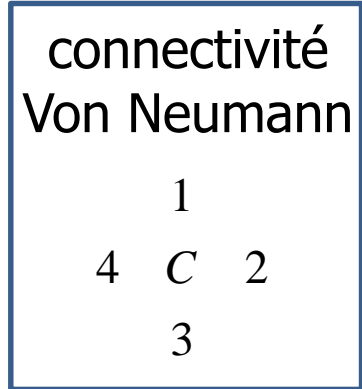
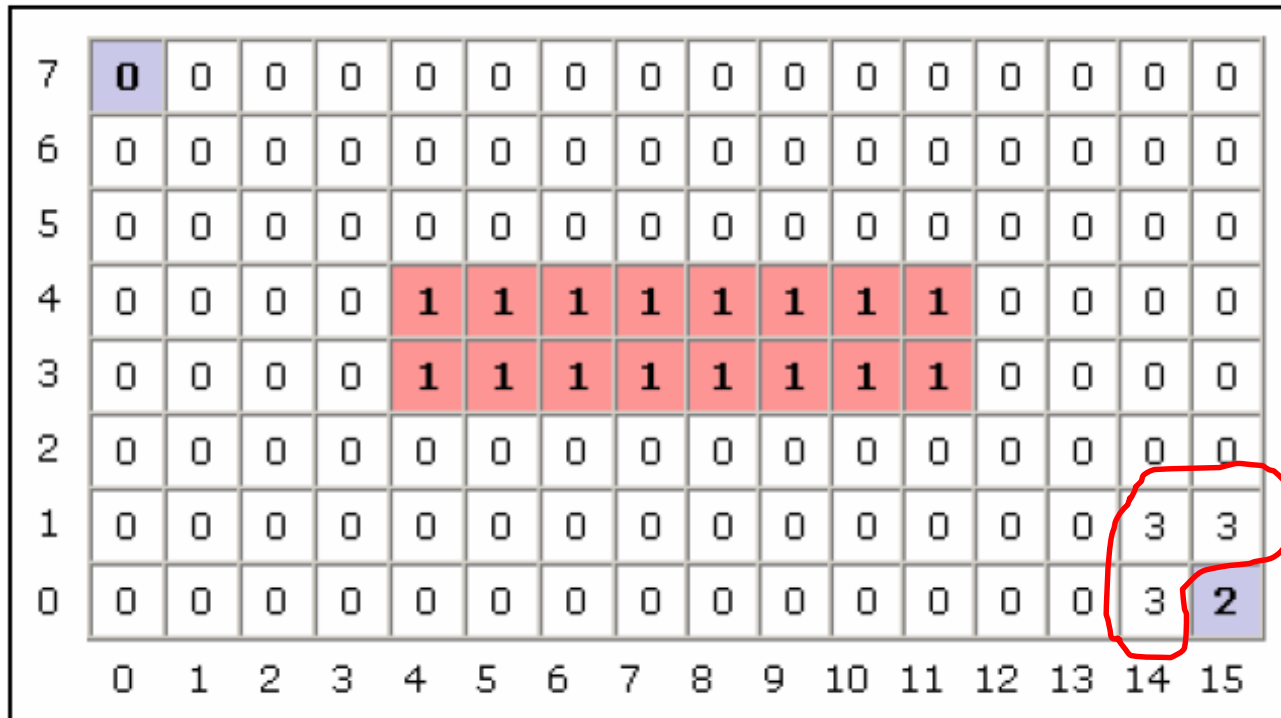
Planification par front d'onde

- *Wavefront planner*
- 0: non-visité 1: obstacle 2: indique le départ



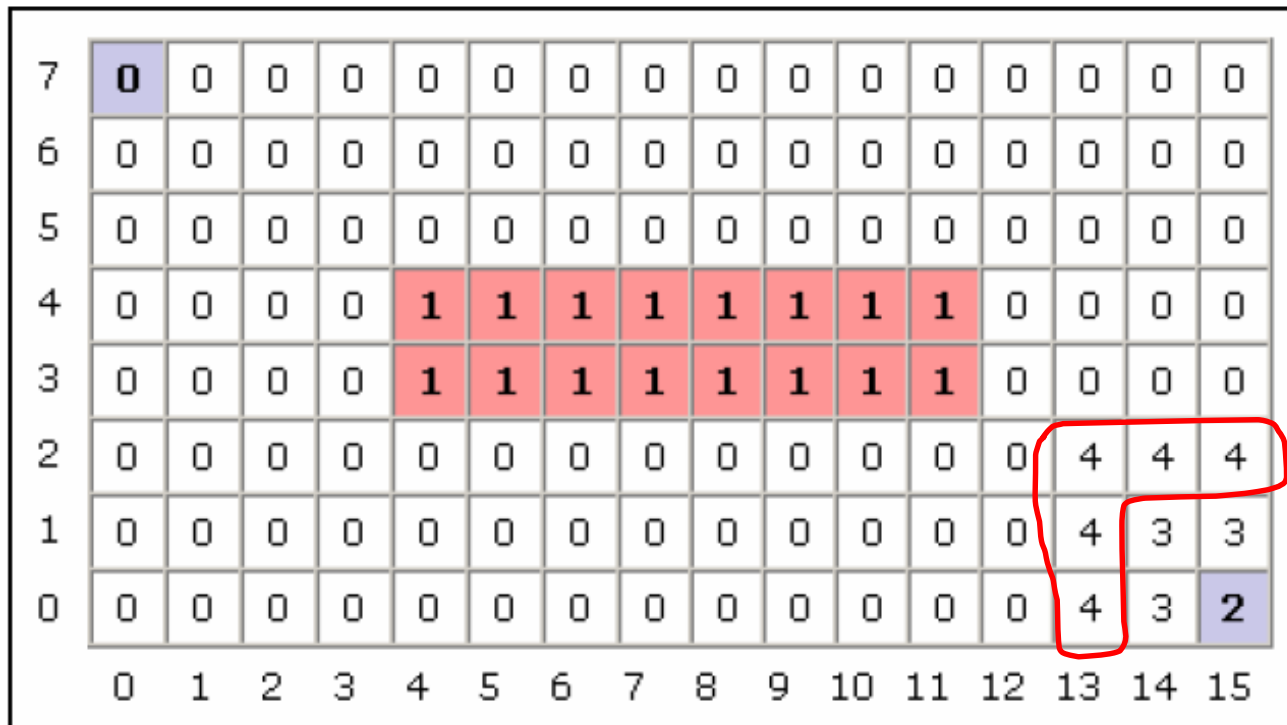
Planification par front d'onde

- *Wavefront planner*
- 0: non-visité 1: obstacle 2: indique le départ



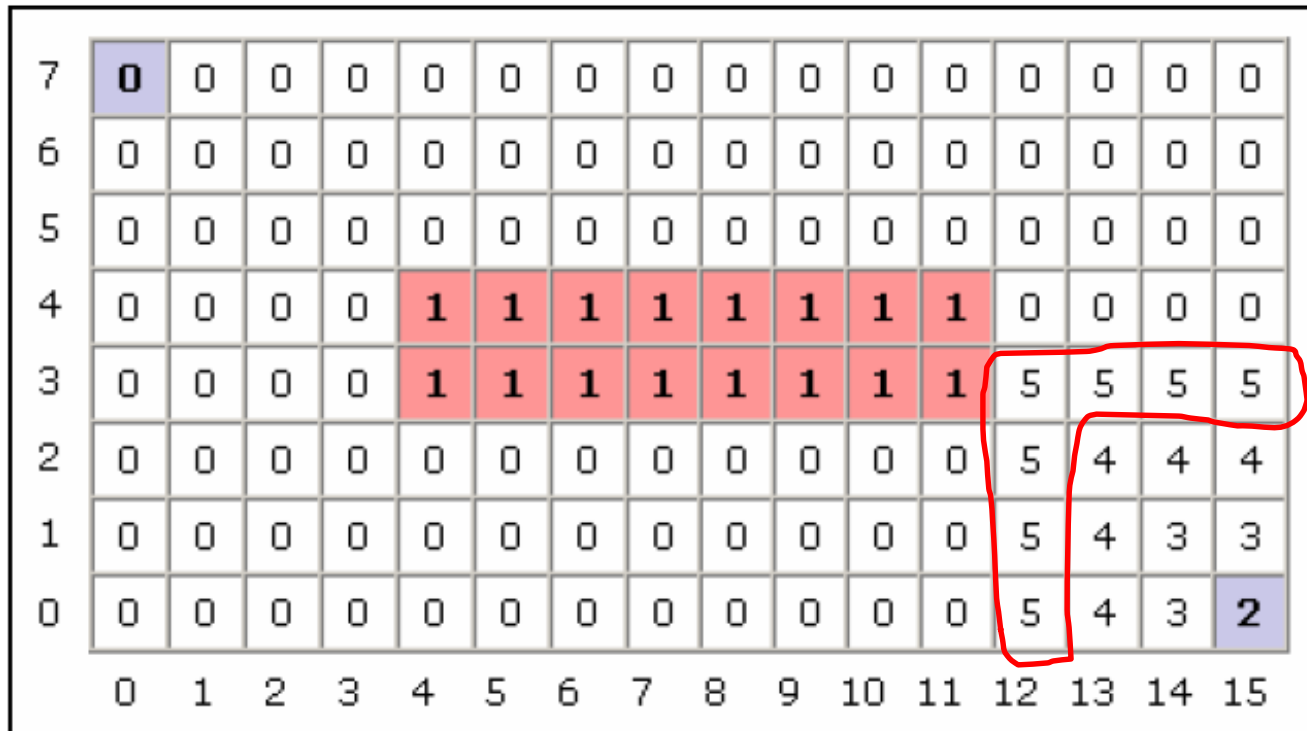
Planification par front d'onde

- *Wavefront planner*
- 0: non-visité 1: obstacle 2: indique le départ



Planification par front d'onde

- *Wavefront planner*
- 0: non-visité 1: obstacle 2: indique le départ



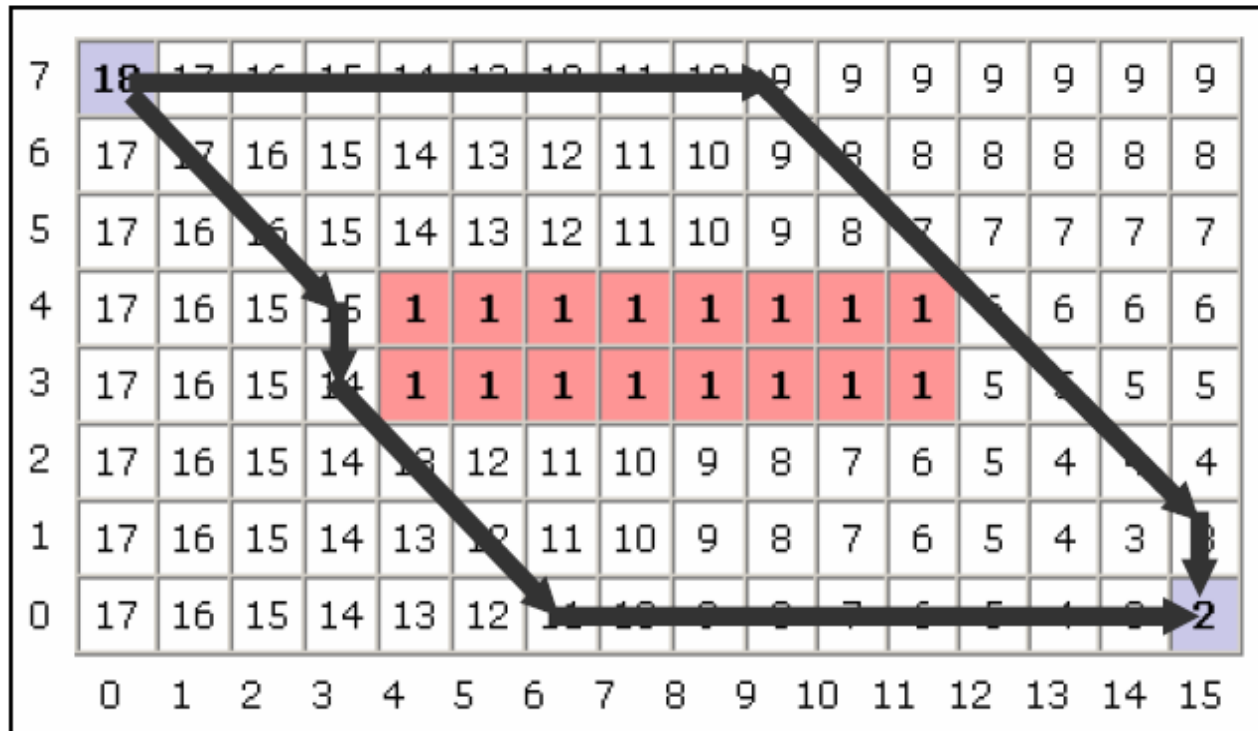
Planification par front d'onde

- Rempli jusqu'à plein
 - les 0 indiquent les endroits non-accessibles du point de départ.

7	18	17	16	15	14	13	12	11	10	9	9	9	9	9	9	
6	17	17	16	15	14	13	12	11	10	9	8	8	8	8	8	
5	17	16	16	15	14	13	12	11	10	9	8	7	7	7	7	
4	17	16	15	15	1	1	1	1	1	1	1	1	6	6	6	
3	17	16	15	14	1	1	1	1	1	1	1	1	5	5	5	
2	17	16	15	14	13	12	11	10	9	8	7	6	5	4	4	
1	17	16	15	14	13	12	11	10	9	8	7	6	5	4	3	
0	17	16	15	14	13	12	11	10	9	8	7	6	5	4	2	
	0	1	2	3	4	5	6	7	8	9	10	11	12	13	14	15

Planification par front d'onde

- La trajectoire consiste **à partir du but** de choisir de façon vorace les cases les plus petites.



2 des
nombreuses
trajectoires
possibles

Planification par front d'onde

- Si vous faites le choix vorace des nœuds **à partir du départ** 😞, vous n'aurez pas nécessairement un chemin le plus court

7	18	17	16	15	14	13	12	11	10	9	9	9	9	9	9	9
6	17	17	16	15	14	13	12	11	10	9	8	8	8	8	8	8
5	17	16	16	15	14	13	12	11	10	9	8	7	7	7	7	7
4	17	16	15	15	1	1	1	1	1	1	1	1	6	6	6	6
3	17	16	15	14	1	1	1	1	1	1	1	1	5	5	5	5
2	17	16	15	14	13	12	11	10	9	8	7	6	5	4	4	4
1	17	16	15	14	13	12	11	10	9	8	7	6	5	4	3	3
0	17	16	15	14	13	12	11	10	9	8	7	6	5	4	3	2
	0	1	2	3	4	5	6	7	8	9	10	11	12	13	14	15